

FIG.1

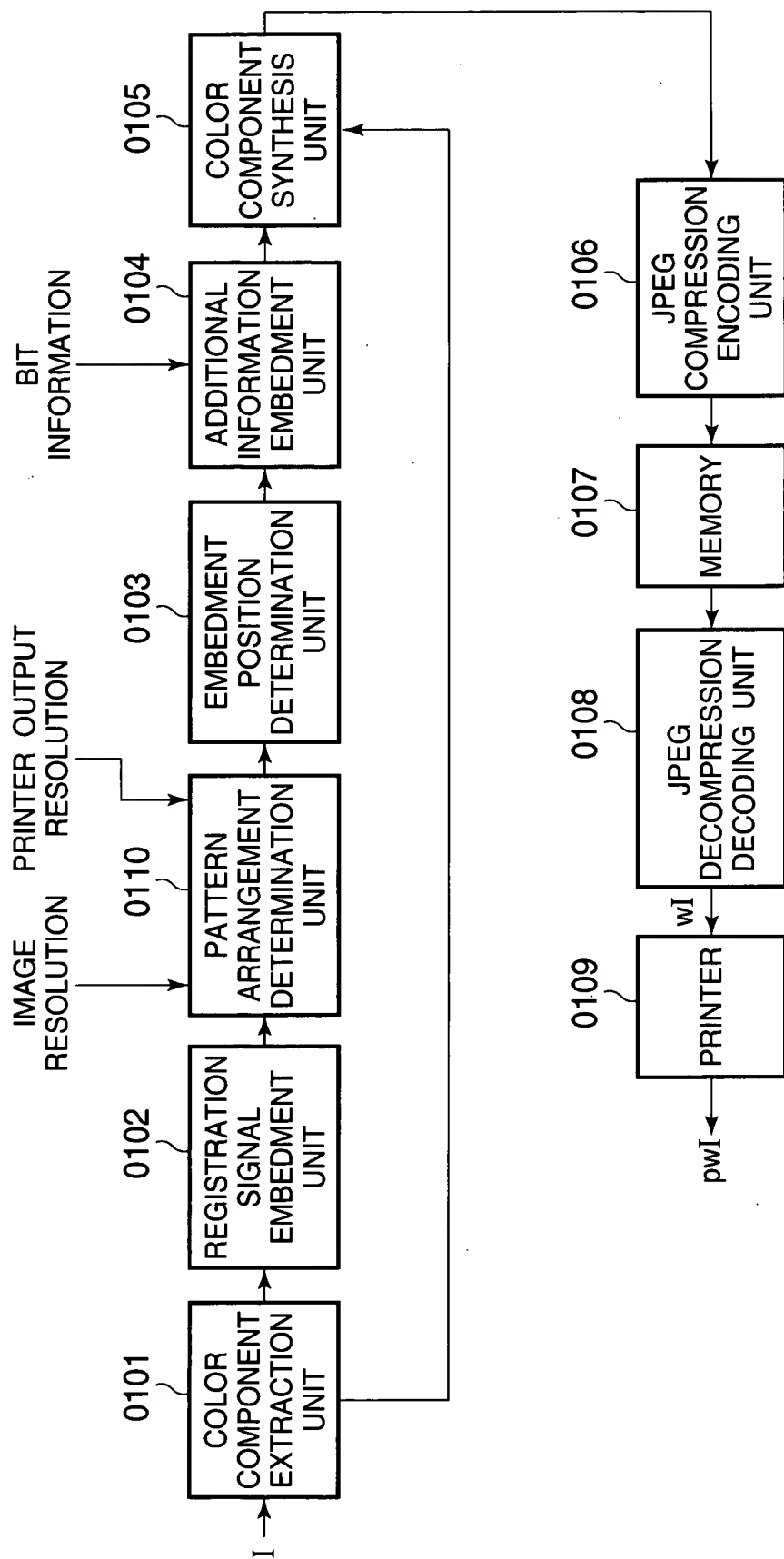


FIG.2

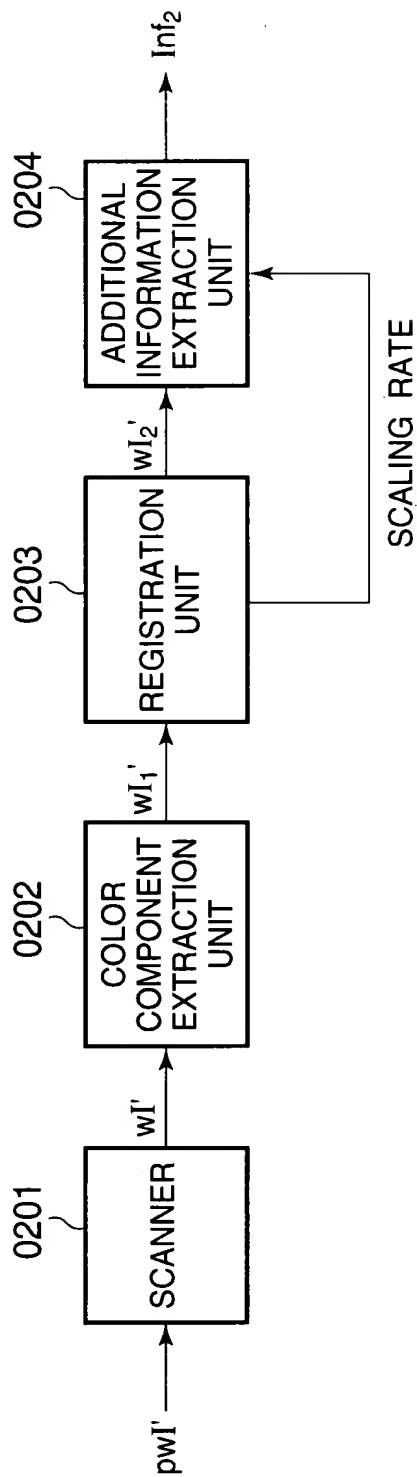


FIG.3

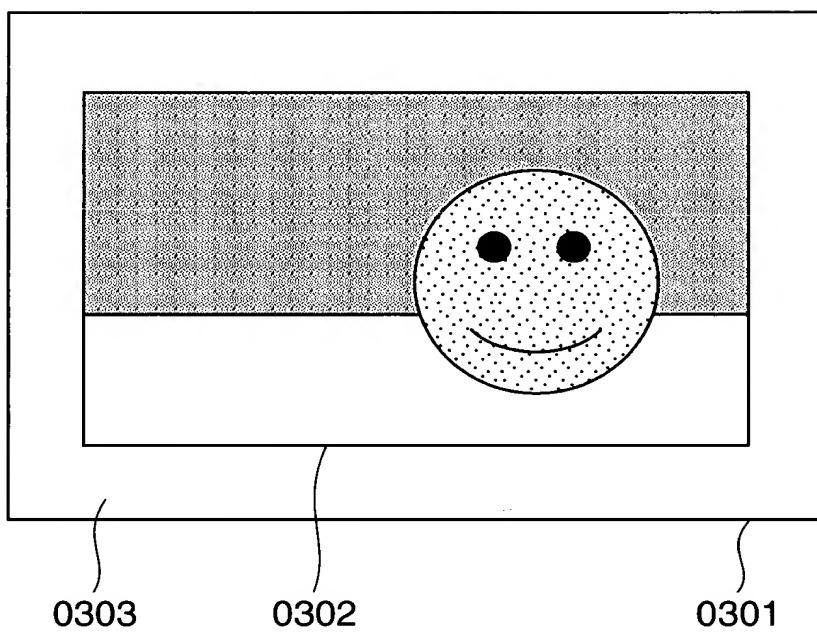


FIG.4

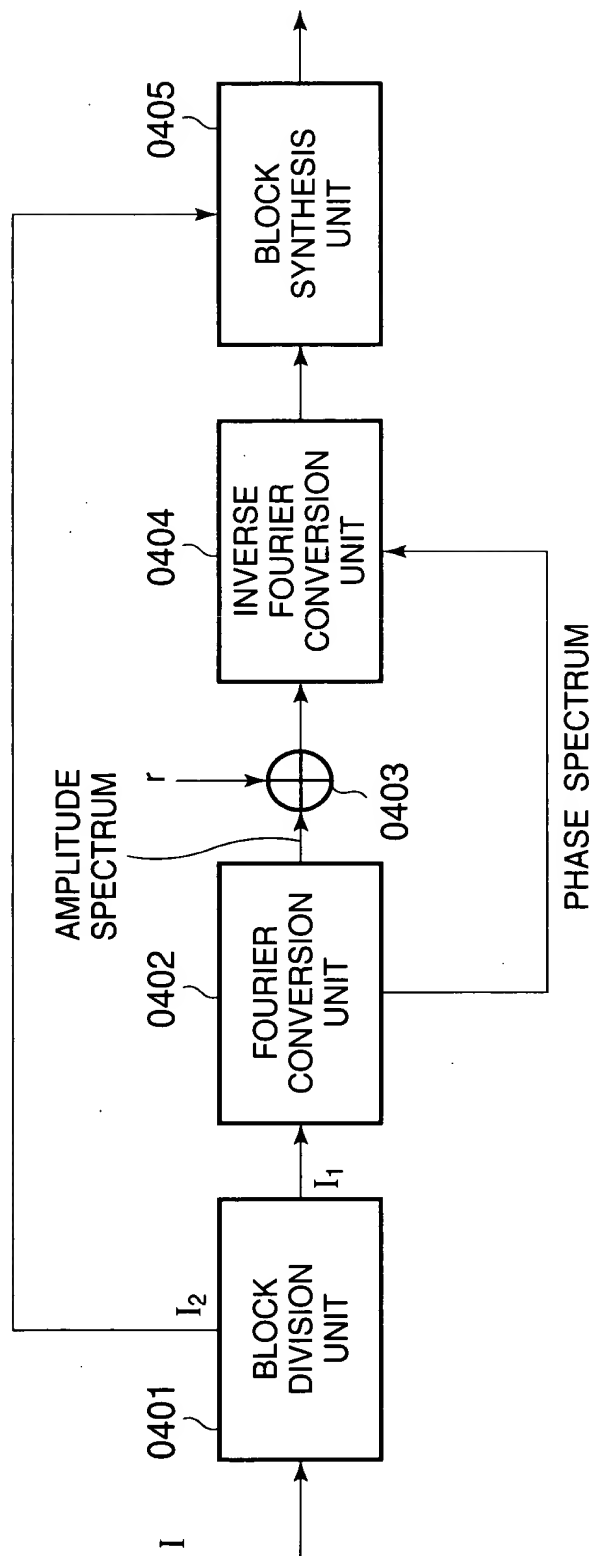


FIG.5

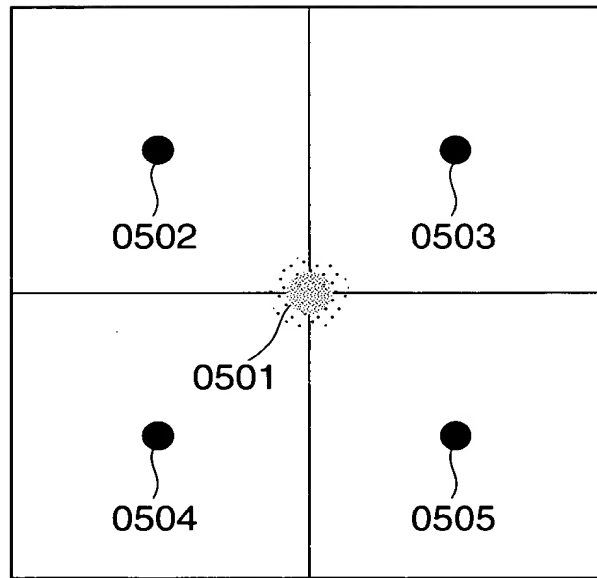


FIG.6

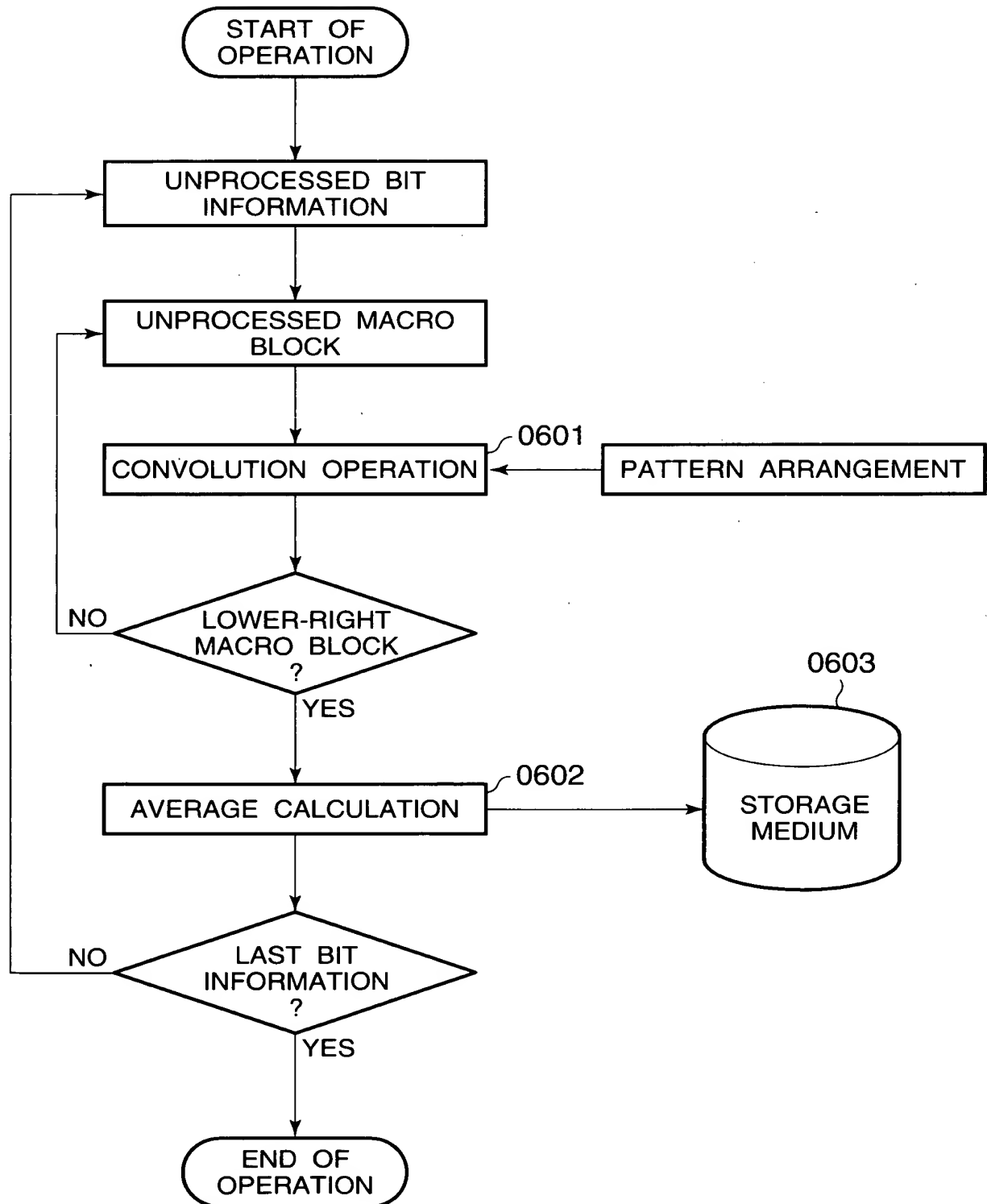


FIG. 7

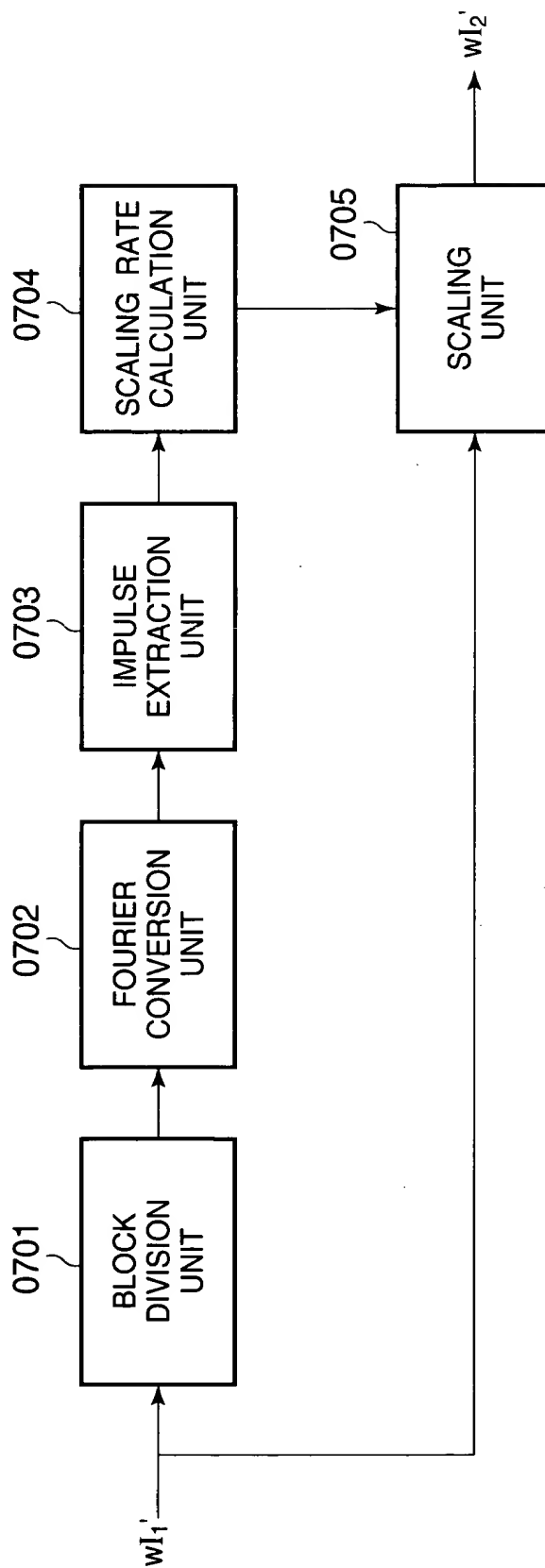


FIG.8A

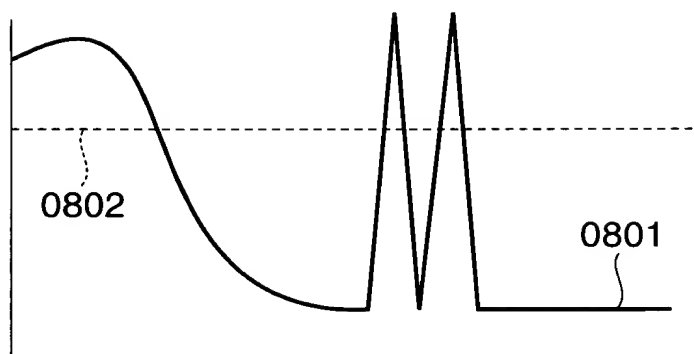


FIG.8B

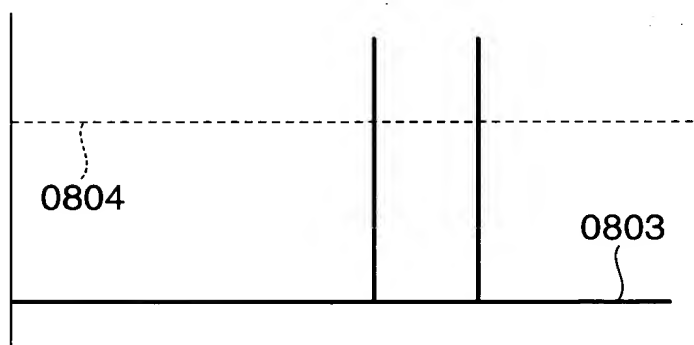




FIG.9

0901

+c	+c	+c	+c	0	0	0	0
+c	+c	+c	+c	0	0	0	0
+c	+c	+c	+c	0	0	0	0
+c	+c	+c	+c	0	0	0	0
0	0	0	0	-c	-c	-c	-c
0	0	0	0	-c	-c	-c	-c
0	0	0	0	-c	-c	-c	-c
0	0	0	0	-c	-c	-c	-c

**FIG. 10**

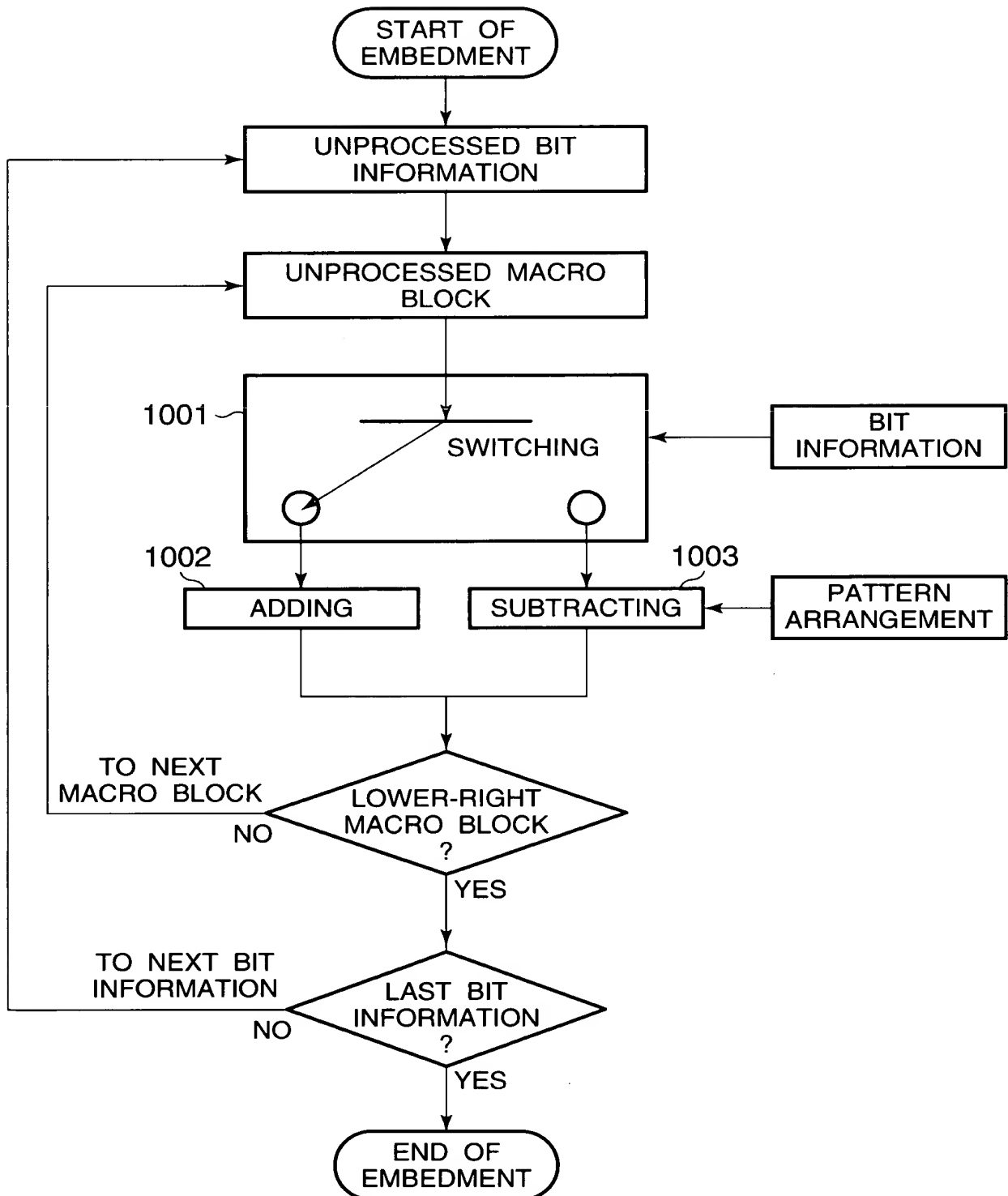


FIG.11

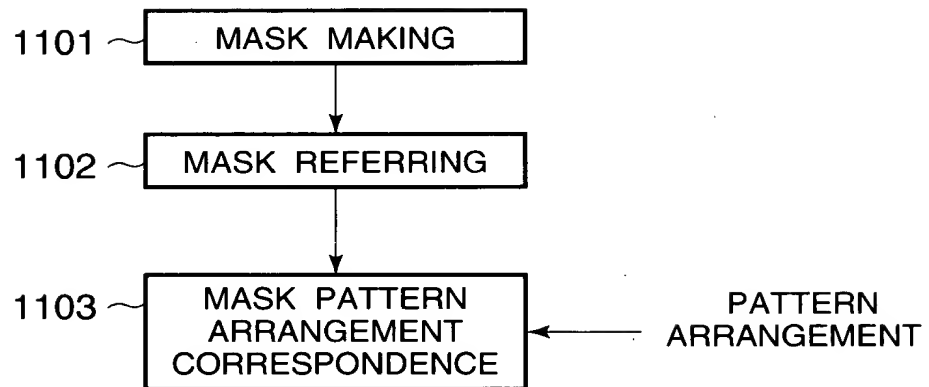
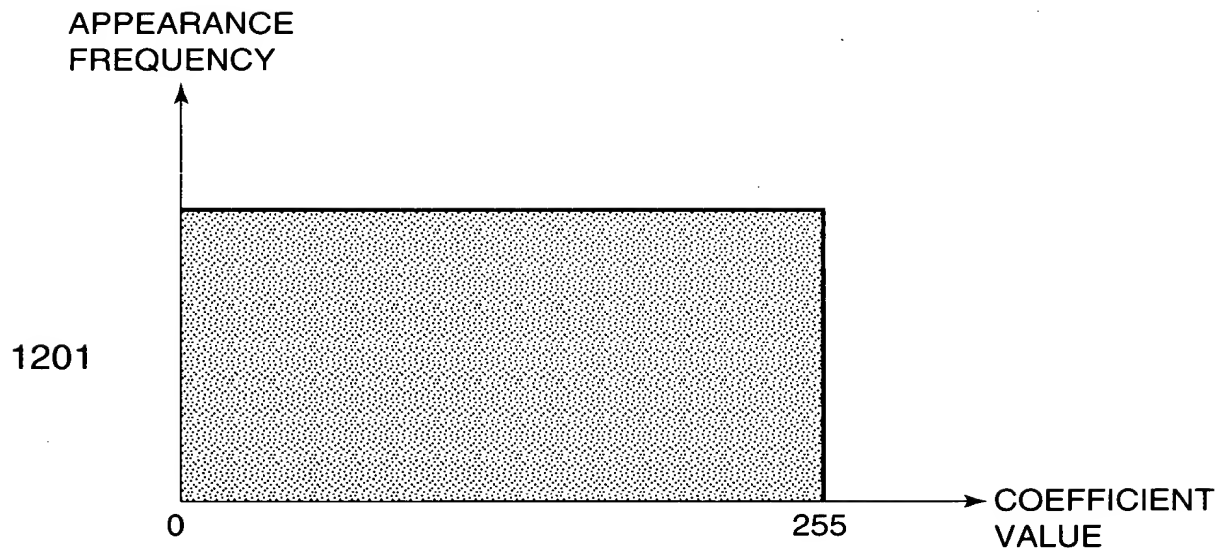


FIG.12



09771963-013001  
FIG.12

FIG.13

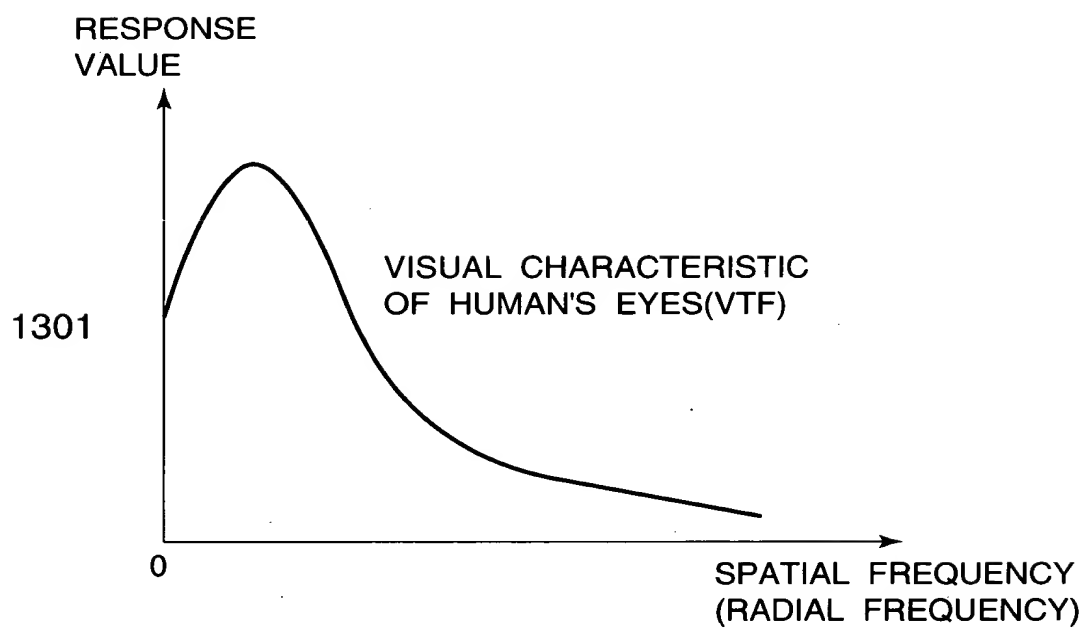


FIG.14

POWER SPECTRUM

1401

VISUAL CHARACTERISTIC  
OF BLUE NOISE MASK

0

RADIAL FREQUENCY

POWER SPECTRUM

1402

VISUAL CHARACTERISTIC  
OF CONE MASK

0

RADIAL FREQUENCY

TOP SECRET

FIG.15

1501

0	14	13	3
11	5	6	8
7	9	10	4
12	2	1	15

FIG. 15 is a diagram of a 4x4 grid of numbers.

FIG.16

1601

0	14	13	3
11	5	6	8
7	9	10	4
12	2	1	15





FIG.18

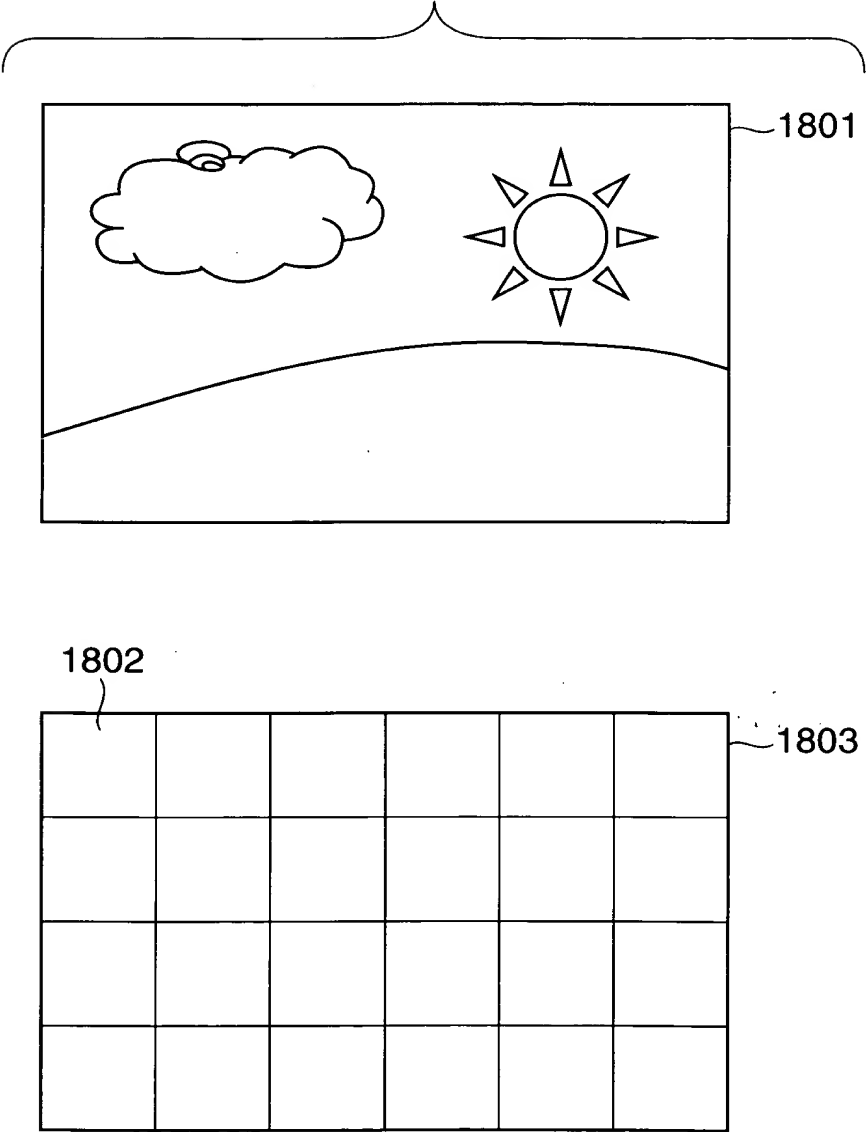


FIG.19

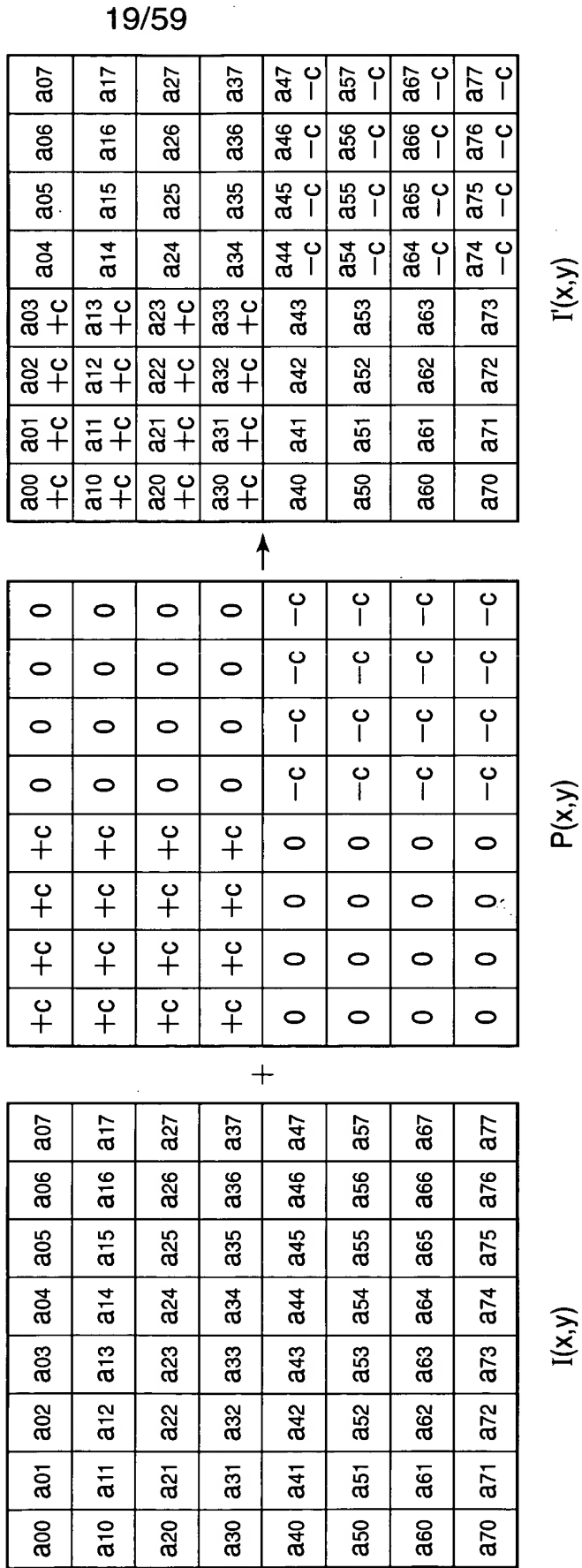


FIG.20

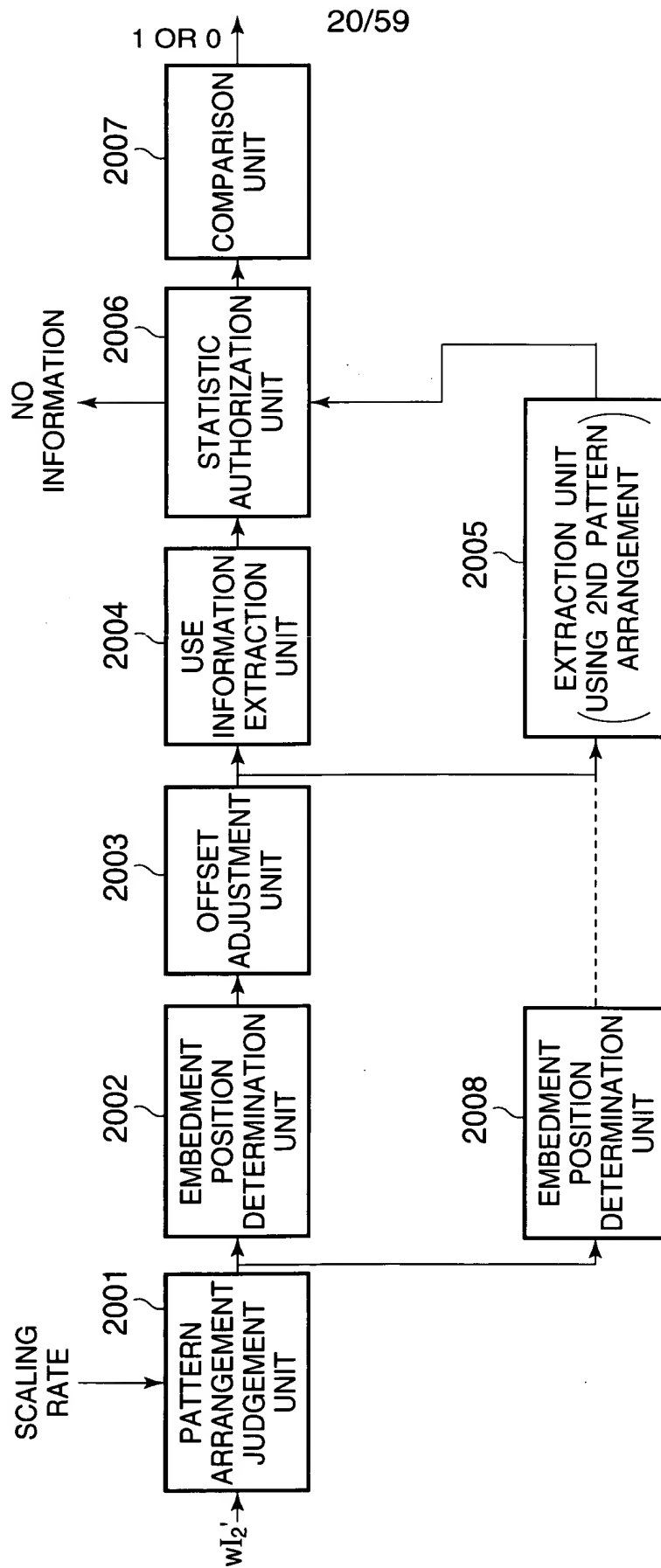


FIG.21

a00	+c	a01	+c	a02	+c	a03	+c	a04	a05	a06	a07
a10	+c	a11	+c	a12	+c	a13	+c	a14	a15	a16	a17
a20	+c	a21	+c	a22	+c	a23	+c	a24	a25	a26	a27
a30	+c	a31	+c	a32	+c	a33	+c	a34	a35	a36	a37
a40		a41		a42		a43		a44	-c	a46	-c
a50		a51		a52		a53		a54	-c	a56	-c
a60		a61		a62		a63		a64	-c	a66	-c
a70		a71		a72		a73		a74	-c	a76	-c

$I'(x,y)$



CONVOLUTION

+c	+c	+c	+c	+c	0	0	0	0	0	0	0
+c	+c	+c	+c	+c	0	0	0	0	0	0	0
+c	+c	+c	+c	+c	0	0	0	0	0	0	0
+c	+c	+c	+c	+c	0	0	0	0	0	0	0
0	0	0	0	0	-c	-c	-c	-c	-c	-c	-c
0	0	0	0	0	-c	-c	-c	-c	-c	-c	-c
0	0	0	0	0	-c	-c	-c	-c	-c	-c	-c
0	0	0	0	0	-c	-c	-c	-c	-c	-c	-c

$P(x,y)$

$$=32c^2$$

FIG.22

a00	a01	a02	a03	a04	a05	a06	a07
a10	a11	a12	a13	a14	a15	a16	a17
a20	a21	a22	a23	a24	a25	a26	a27
a30	a31	a32	a33	a34	a35	a36	a37
a40	a41	a42	a43	a44	a45	a46	a47
a50	a51	a52	a53	a54	a55	a56	a57
a60	a61	a62	a63	a64	a65	a66	a67
a70	a71	a72	a73	a74	a75	a76	a77

$I'(x,y)$



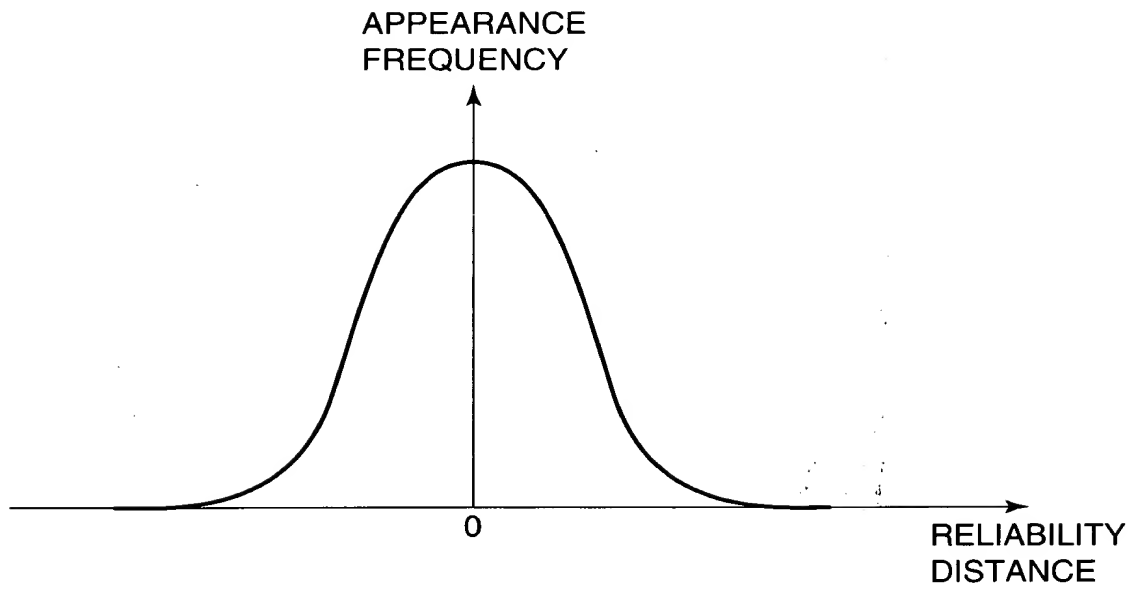
CONVOLUTION

+c	+c	+c	+c	+c	0	0	0
+c	+c	+c	+c	+c	0	0	0
+c	+c	+c	+c	+c	0	0	0
+c	+c	+c	+c	+c	0	0	0
0	0	0	0	0	-c	-c	-c
0	0	0	0	0	-c	-c	-c
0	0	0	0	0	-c	-c	-c
0	0	0	0	0	-c	-c	-c

$P(x,y)$

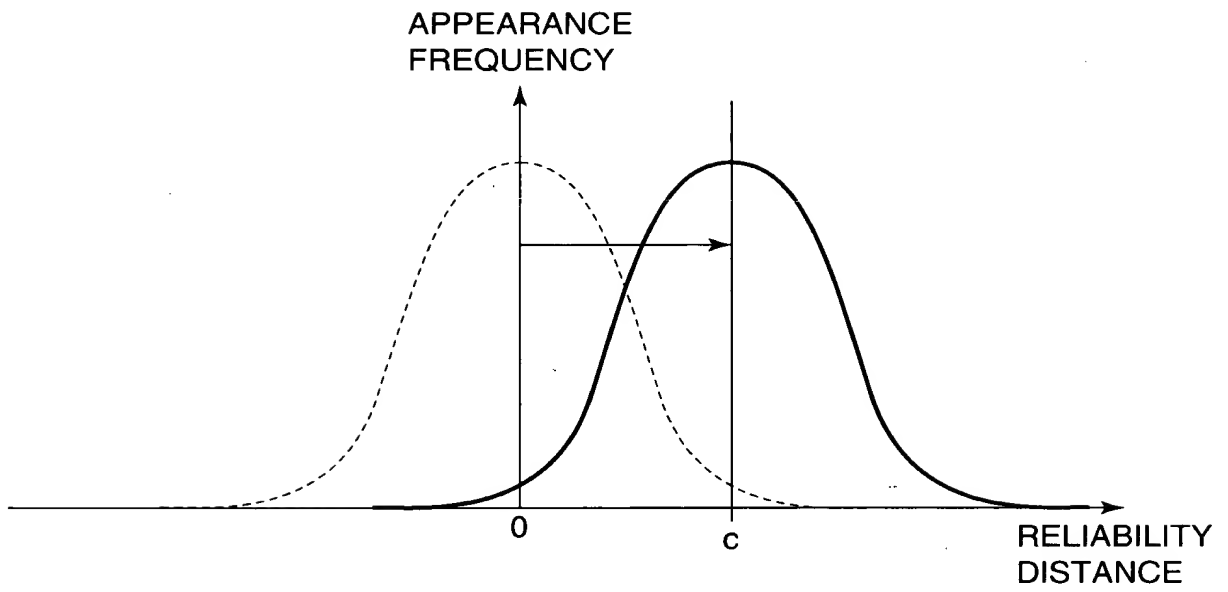
=0

FIG.23



09771983 013001

FIG.24



09/14/99 04:30:04



FIG.25

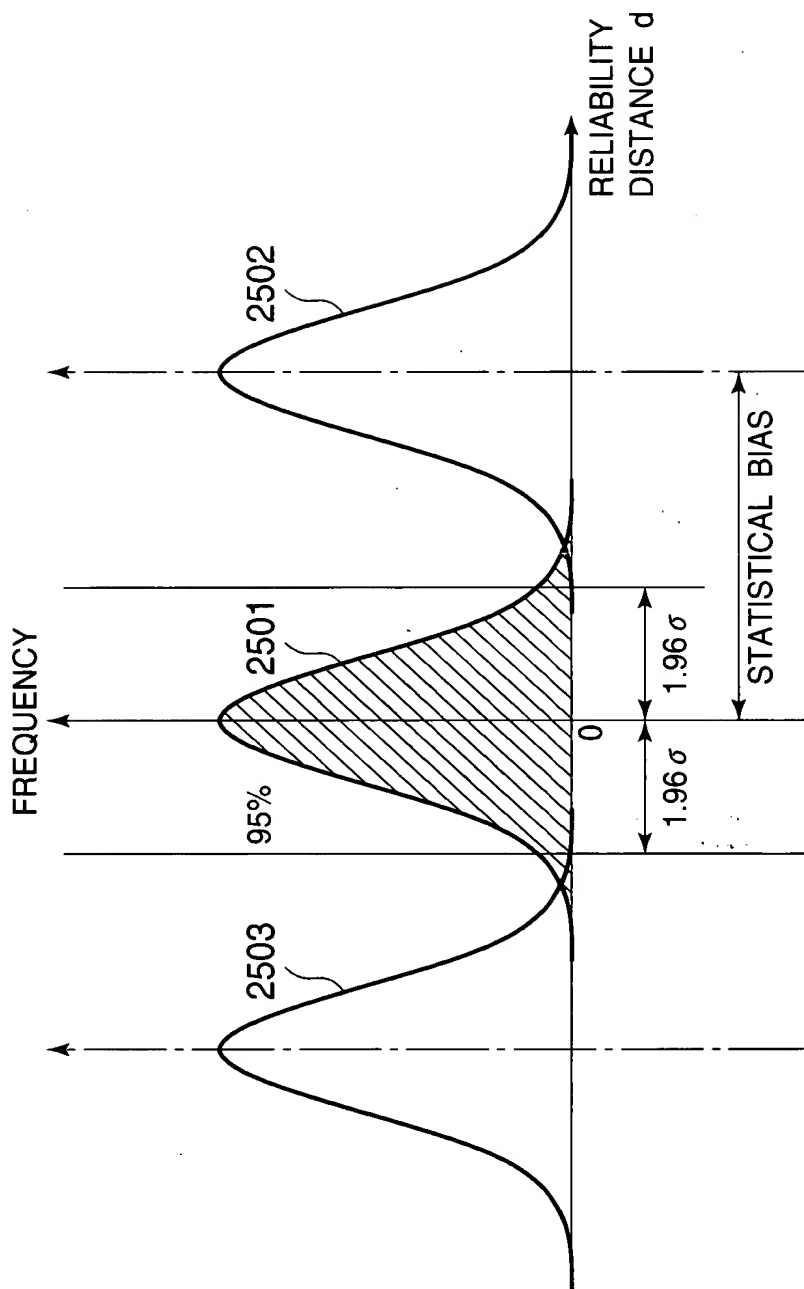


FIG. 26

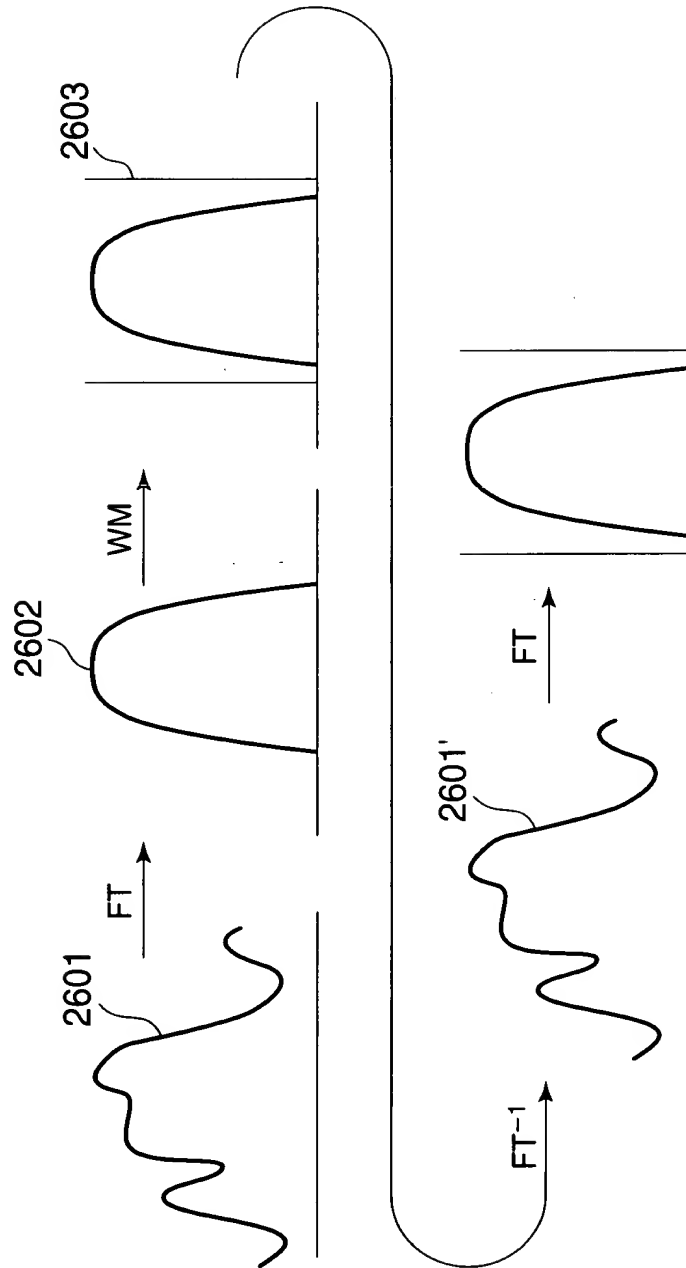


FIG.27A

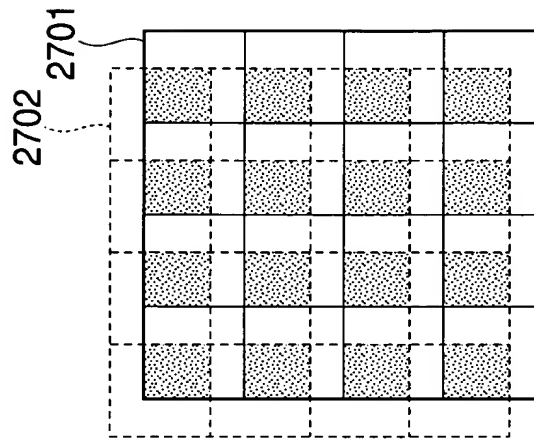


FIG.27B

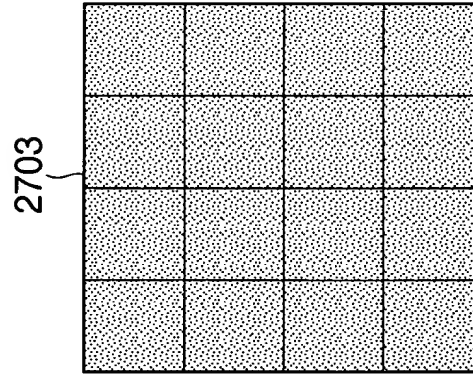


FIG.27C

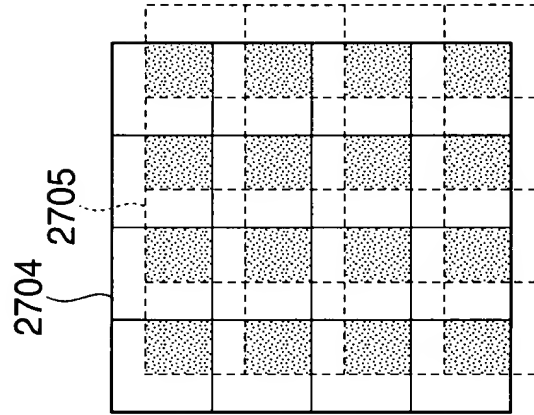


FIG.28

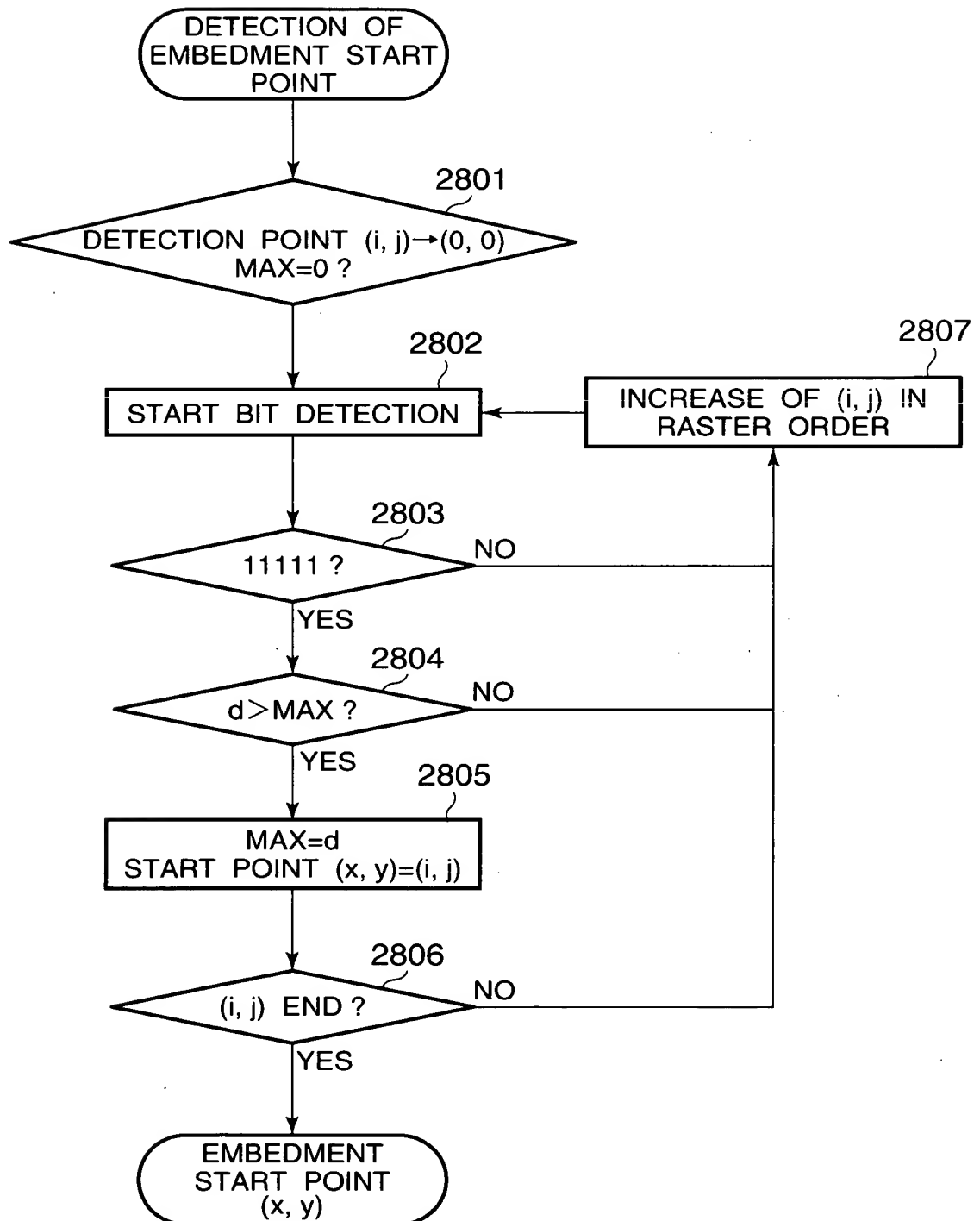


FIG.29

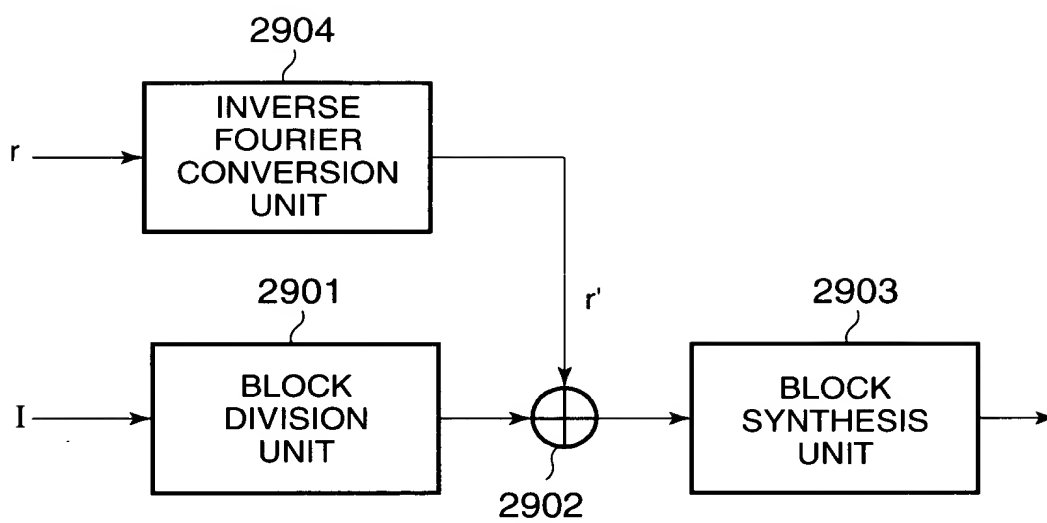


FIG.30

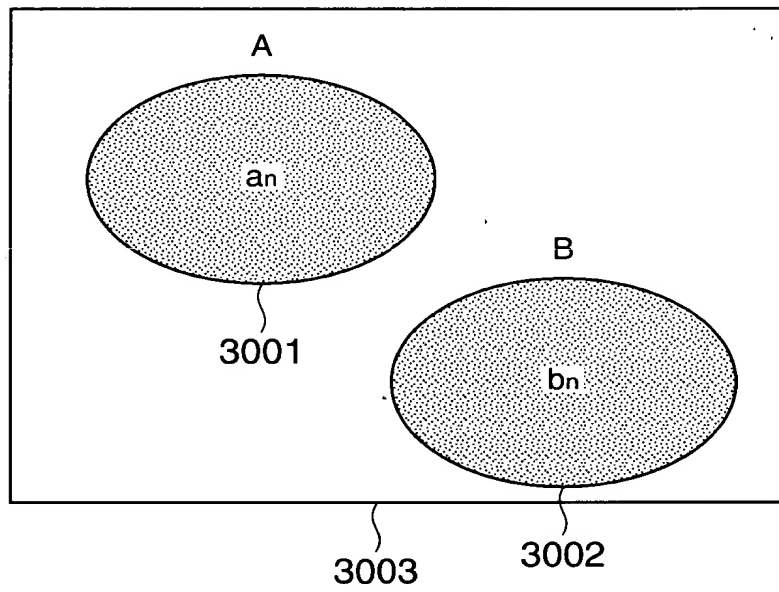


FIG.31

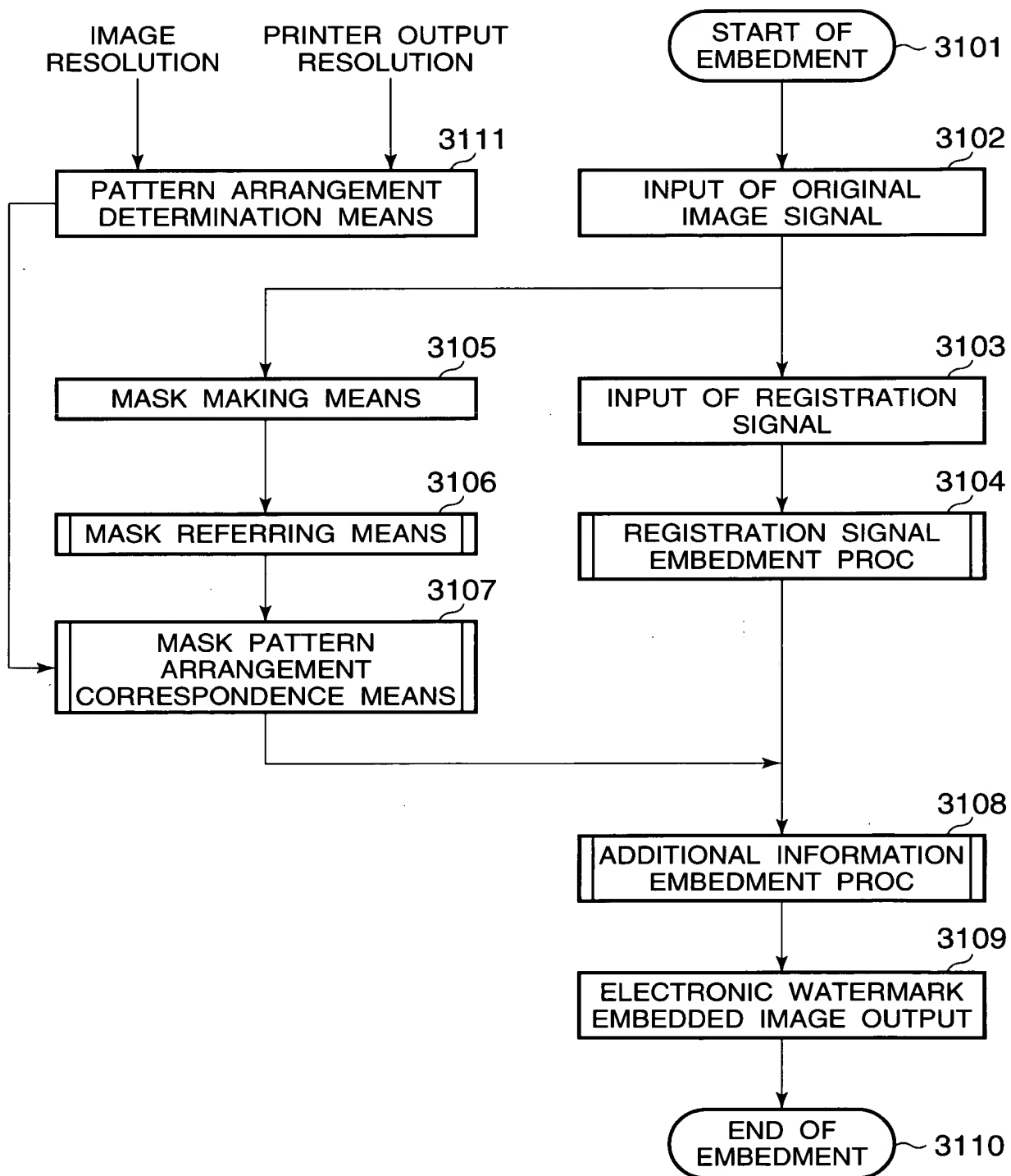


FIG.32

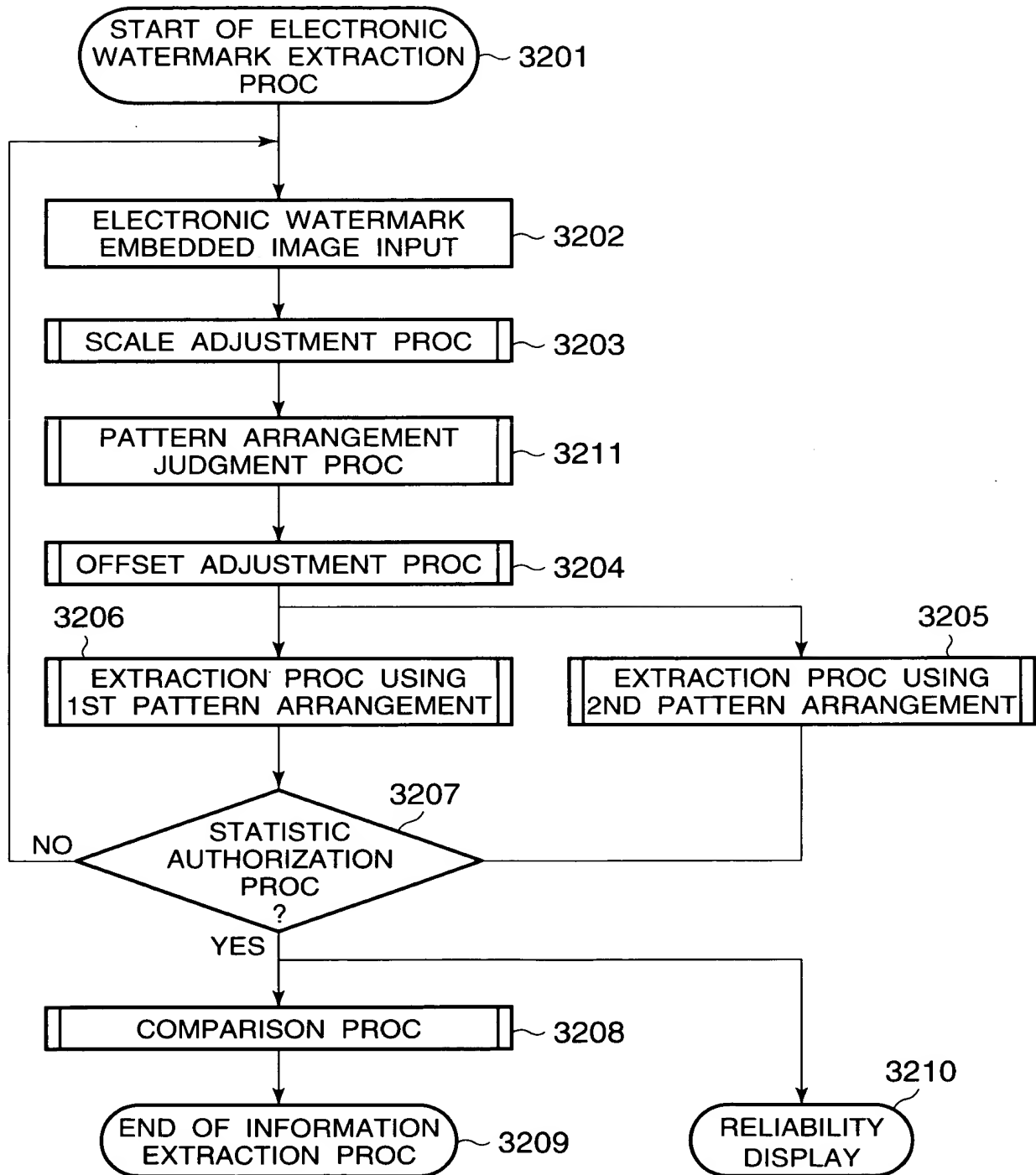






FIG.34

3301

0	0	0	0	0	0	0	0
0	0	0	0	0	0	0	0
0	0	0	0	0	0	0	0
0	0	0	0	0	0	0	0
-c	-c	-c	-c	0	0	0	0
-c	-c	-c	0	0	0	0	0
-c	-c	0	0	0	0	0	0
-c	0	0	0	0	0	0	0



CONVOLUTION

0901

+c	+c	+c	+c	0	0	0	0
+c	+c	+c	0	0	0	0	0
+c	+c	0	0	0	0	0	0
+c	0	0	0	0	0	0	0
0	0	0	0	-c	-c	-c	-c
0	0	0	0	-c	-c	-c	-c
0	0	0	0	-c	-c	-c	-c
0	0	0	0	-c	-c	-c	-c

=0

FIG.35

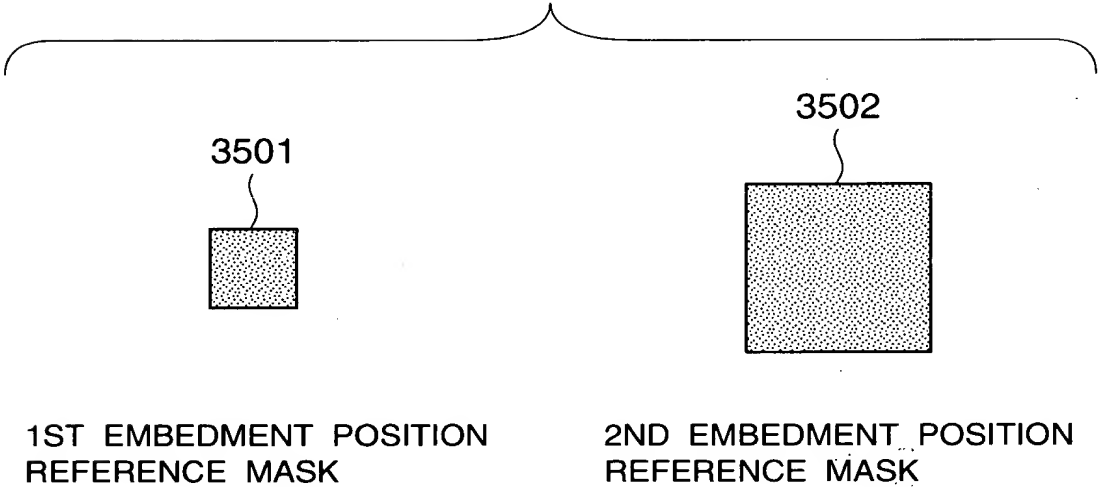
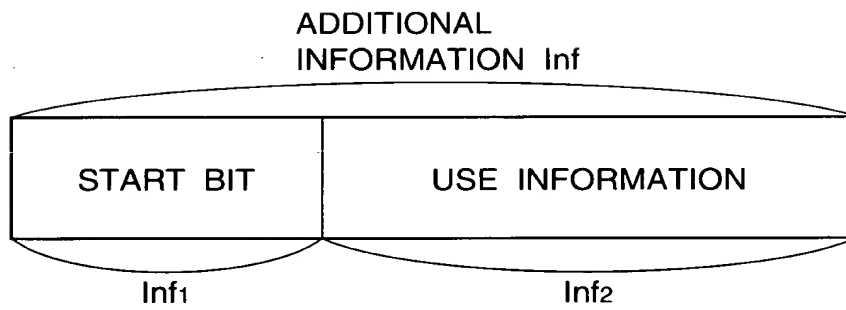


FIG.36



[illegible][illegible]

**THE** **NEW** **YORK** **PUBLIC** **LIBRARY**

FIG.38

73	244	124	207	70	254	117	196
38	177	11	132	43	186	4	138
104	221	93	231	100	211	85	237
23	151	55	165	26	153	56	172
67	250	113	193	79	240	123	203
47	188	1	142	33	183	14	128
96	215	83	232	111	218	91	227
28	157	60	171	17	147	51	160

COEFFICIENT ARRANGEMENT  
OF CONE MASK (PART)

FIG.38

FIG.39

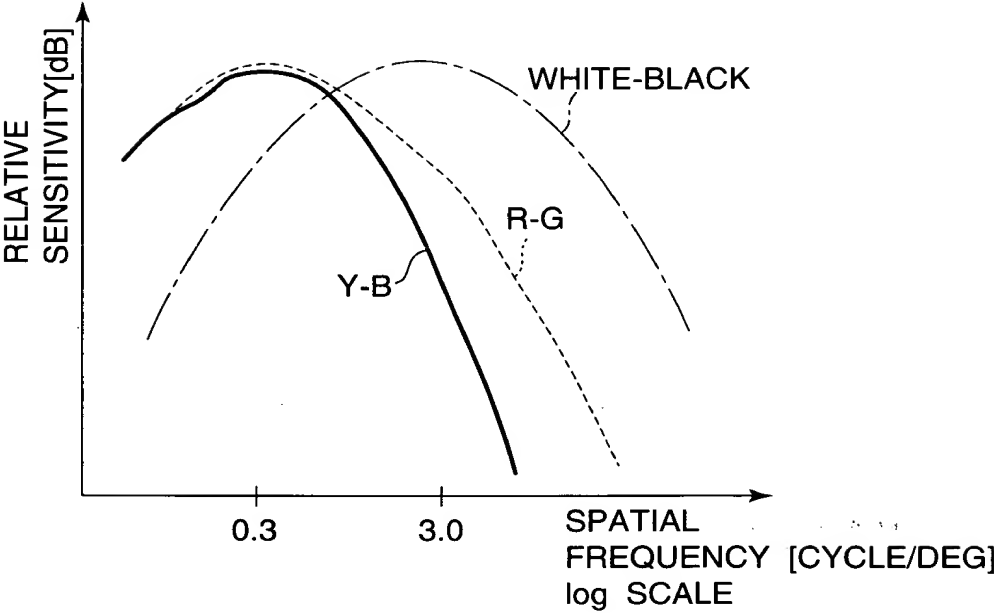


FIG.40

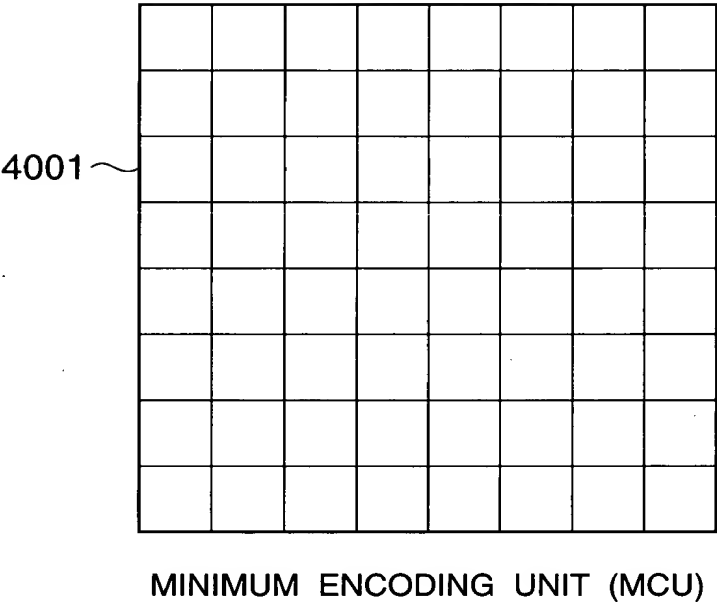




FIG.41

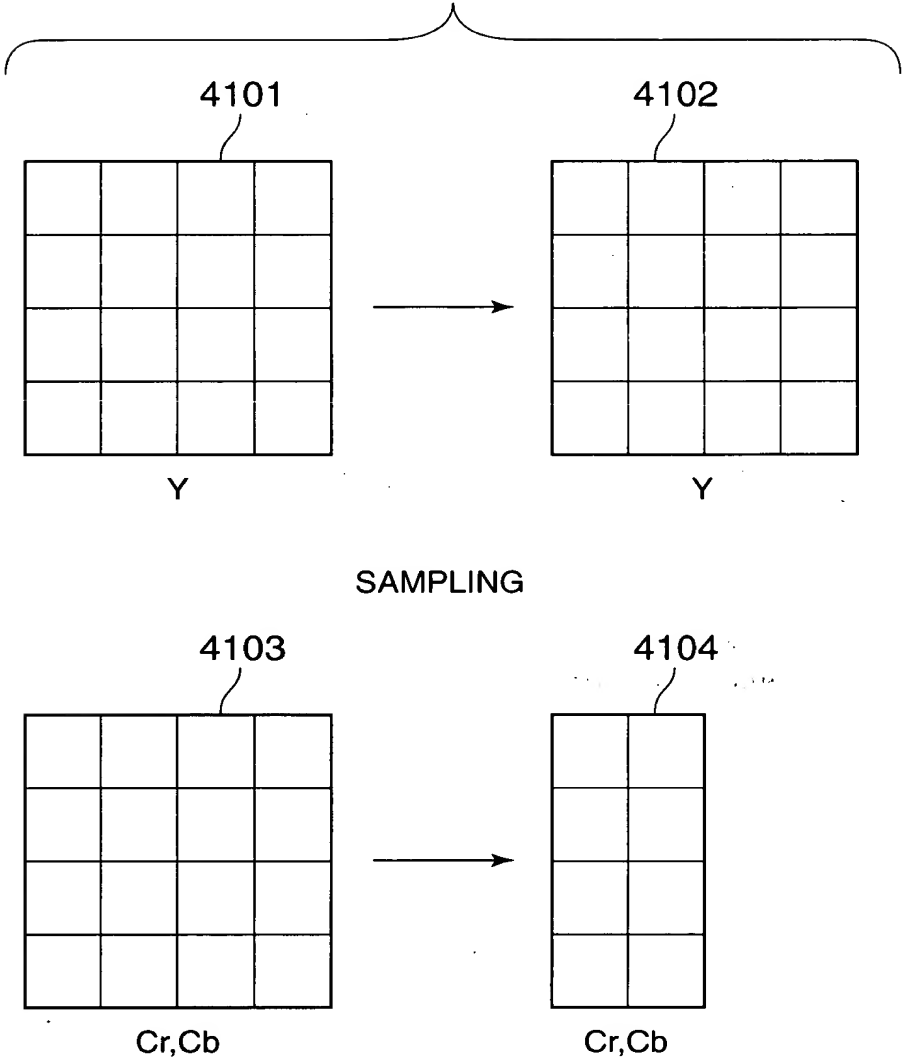


FIG.42

4201

+c	+c	+c	+c	0	0	0	0
+c	+c	+c	+c	0	0	0	0
+c	+c	+c	+c	0	0	0	0
+c	+c	+c	+c	0	0	0	0
0	0	0	0	-c	-c	-c	-c
0	0	0	0	-c	-c	-c	-c
0	0	0	0	-c	-c	-c	-c
0	0	0	0	-c	-c	-c	-c

4202

FIG.43

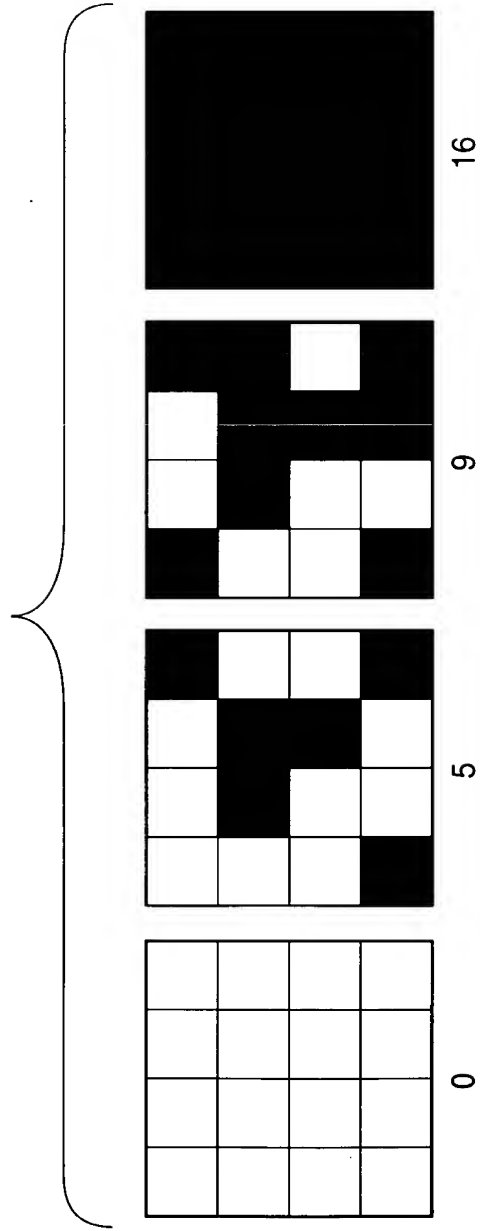


FIG. 44

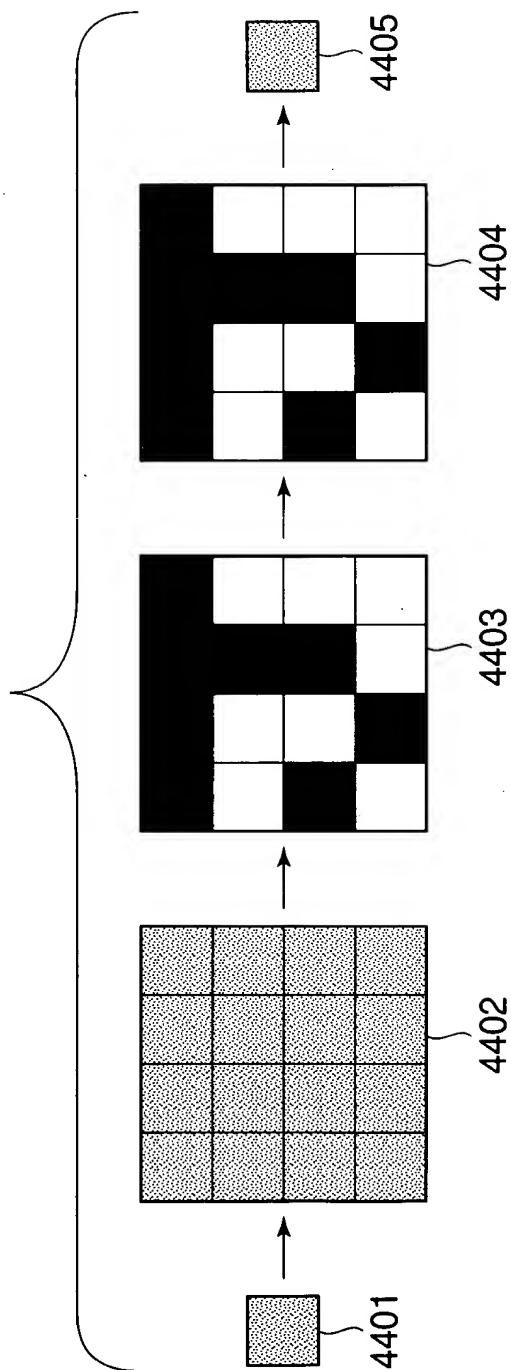


FIG. 45A

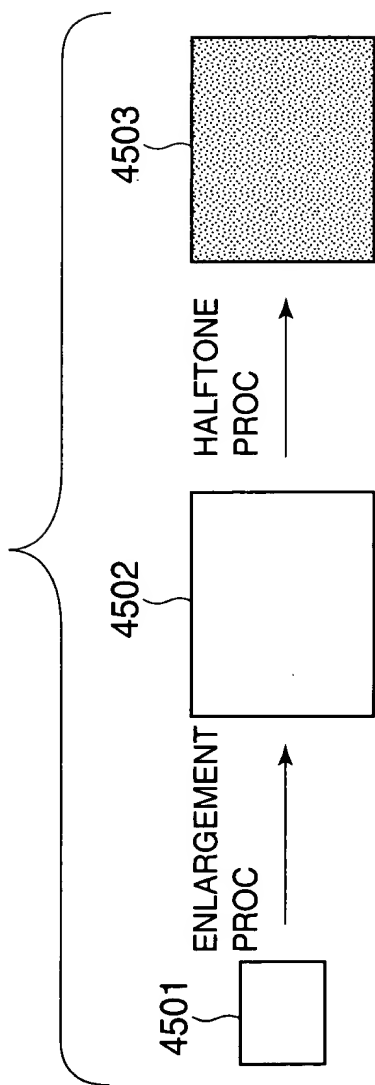


FIG. 45B

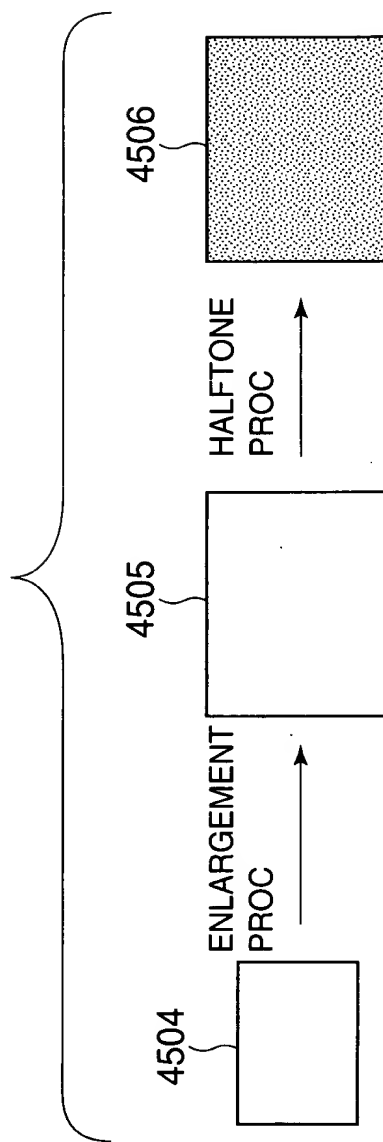
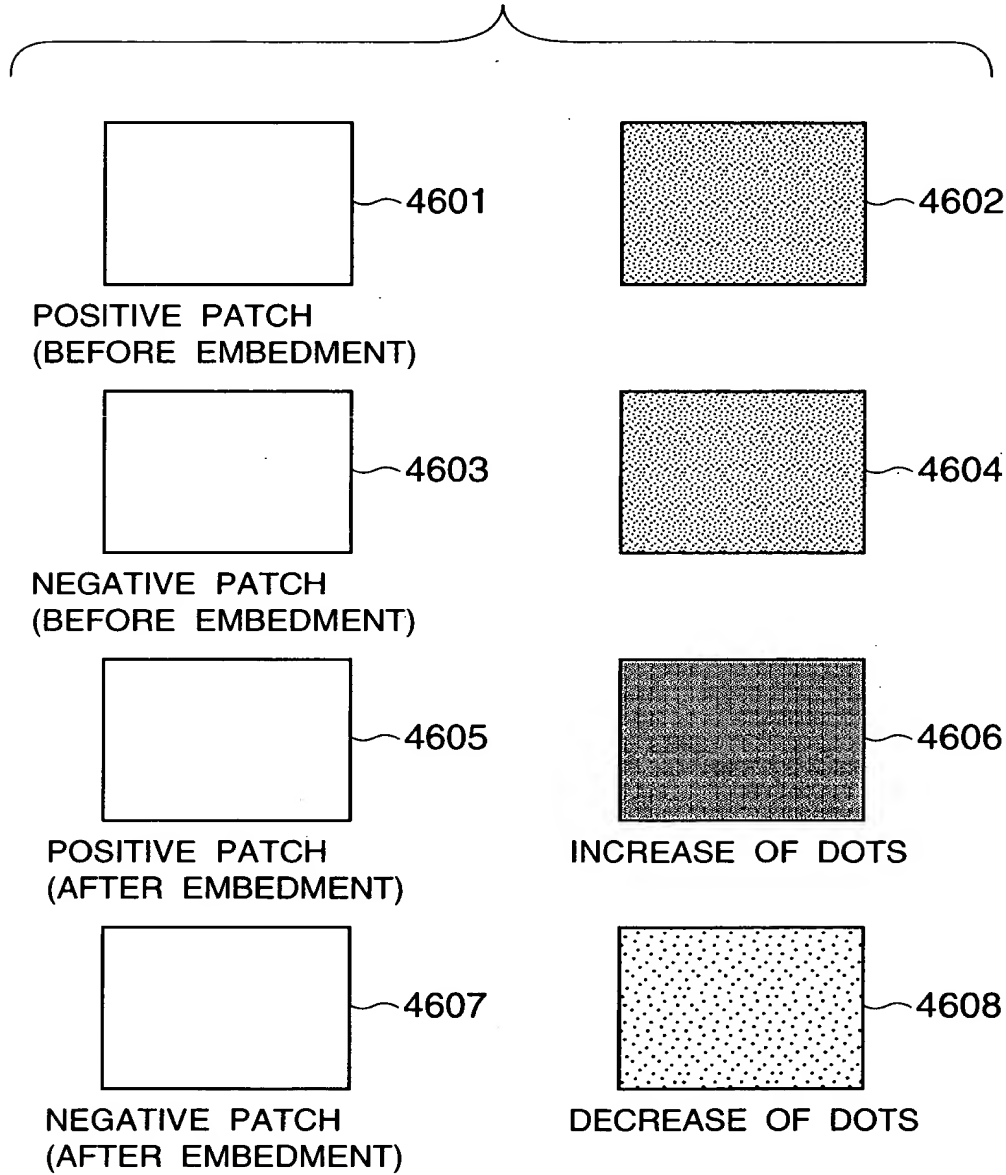


FIG.46



20250306T0750

FIG.47

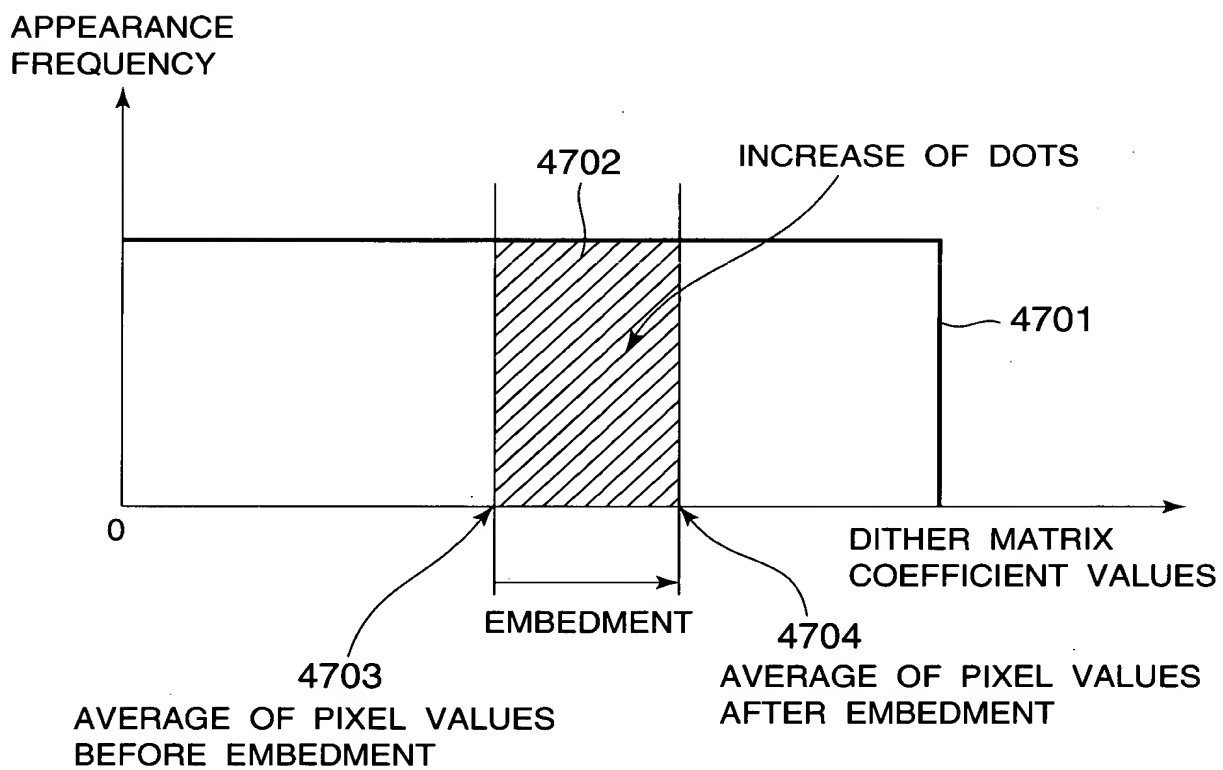


FIG.48A

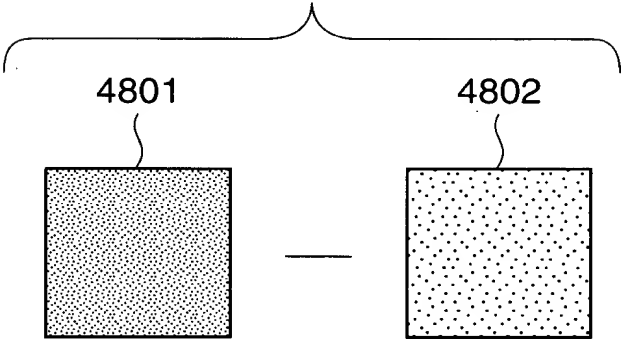
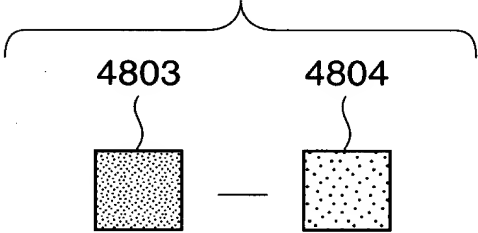


FIG.48B



DIFFERENCE OF PATTERN  
ARRANGEMENT UNIT



4901

490349024904[illegible]

FIG.50

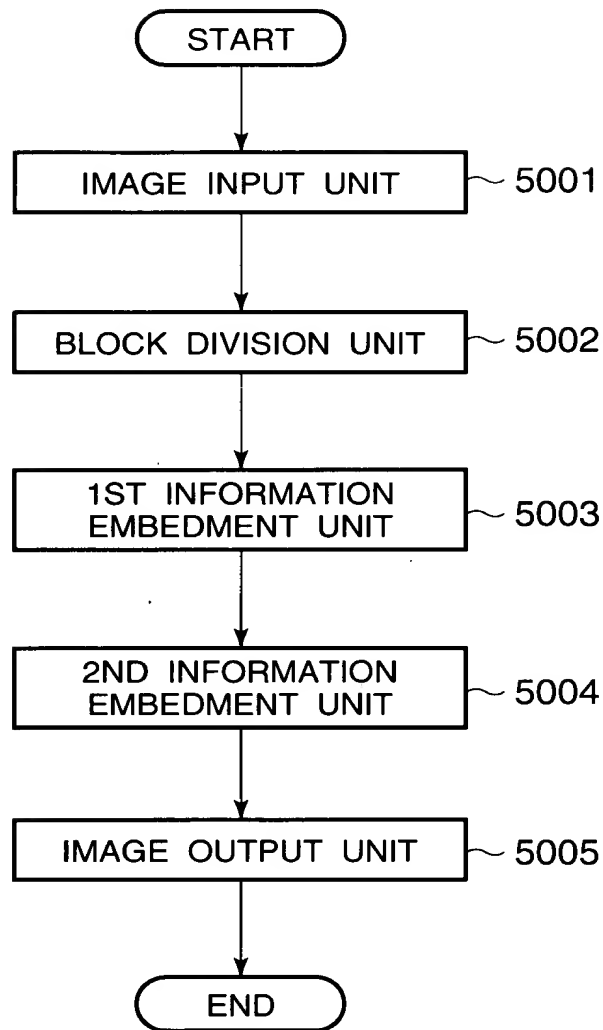


FIG.51

ISSUE COUNTRY INFORMATION (8 BITS)	AMOUNT INFORMATION (8 BITS)
---------------------------------------	--------------------------------

FIG.52

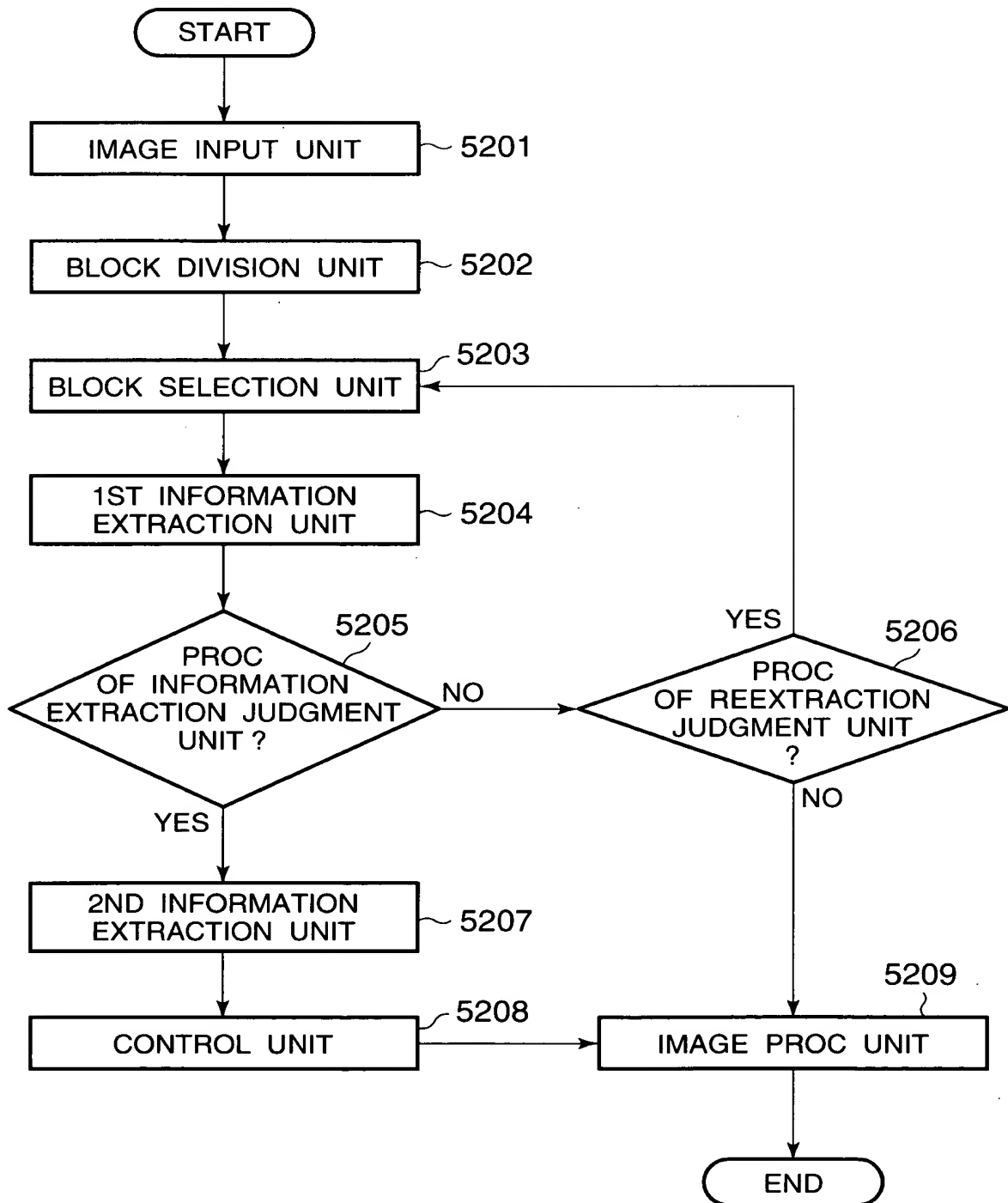


FIG.53

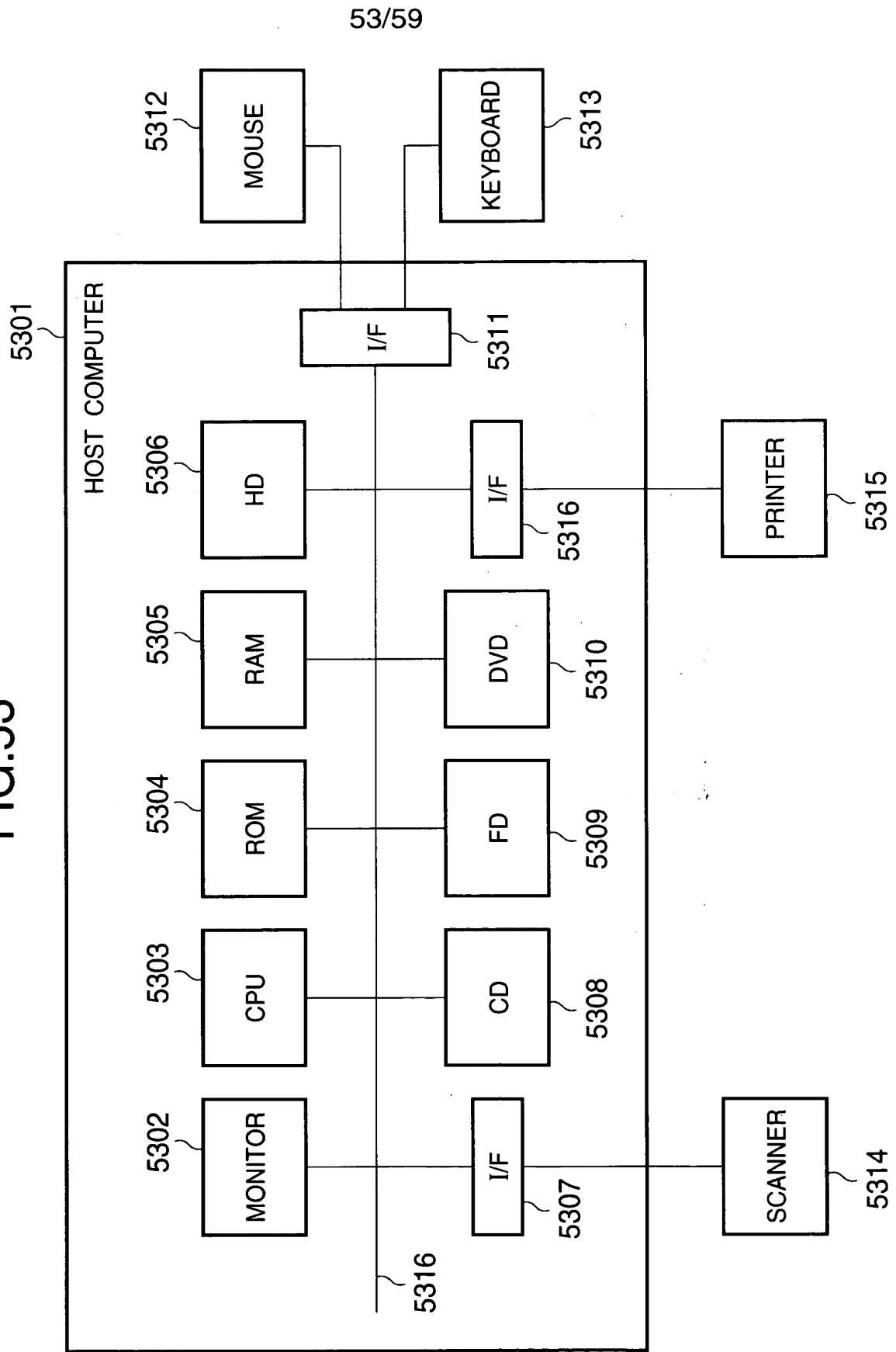


FIG.54

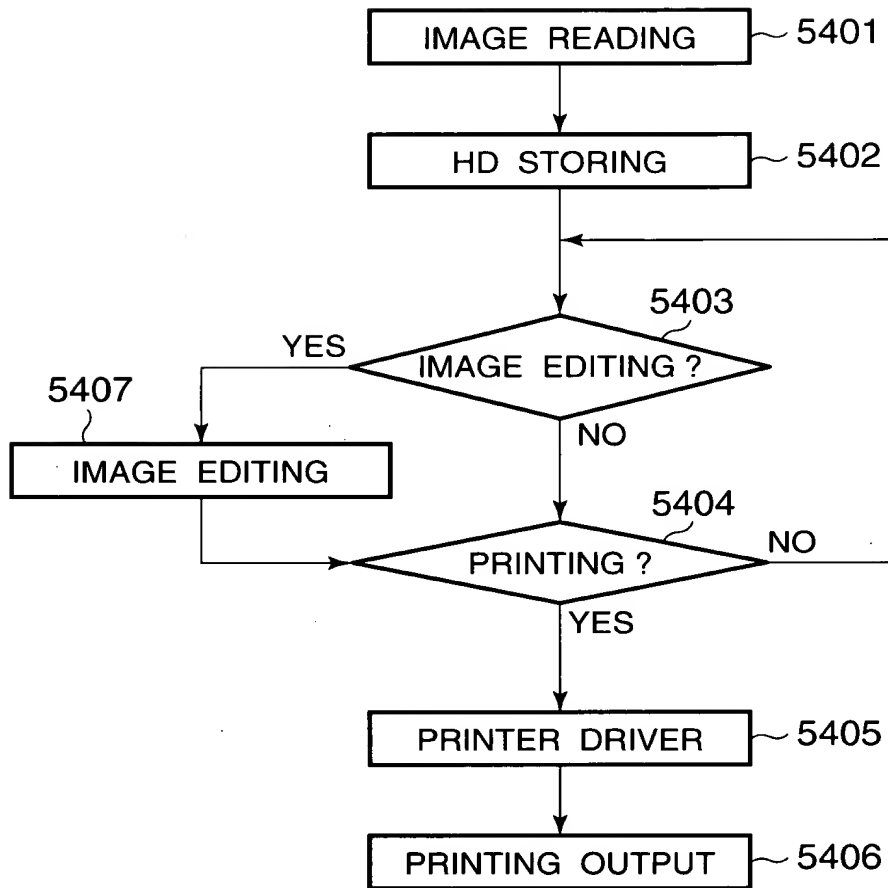


FIG.55

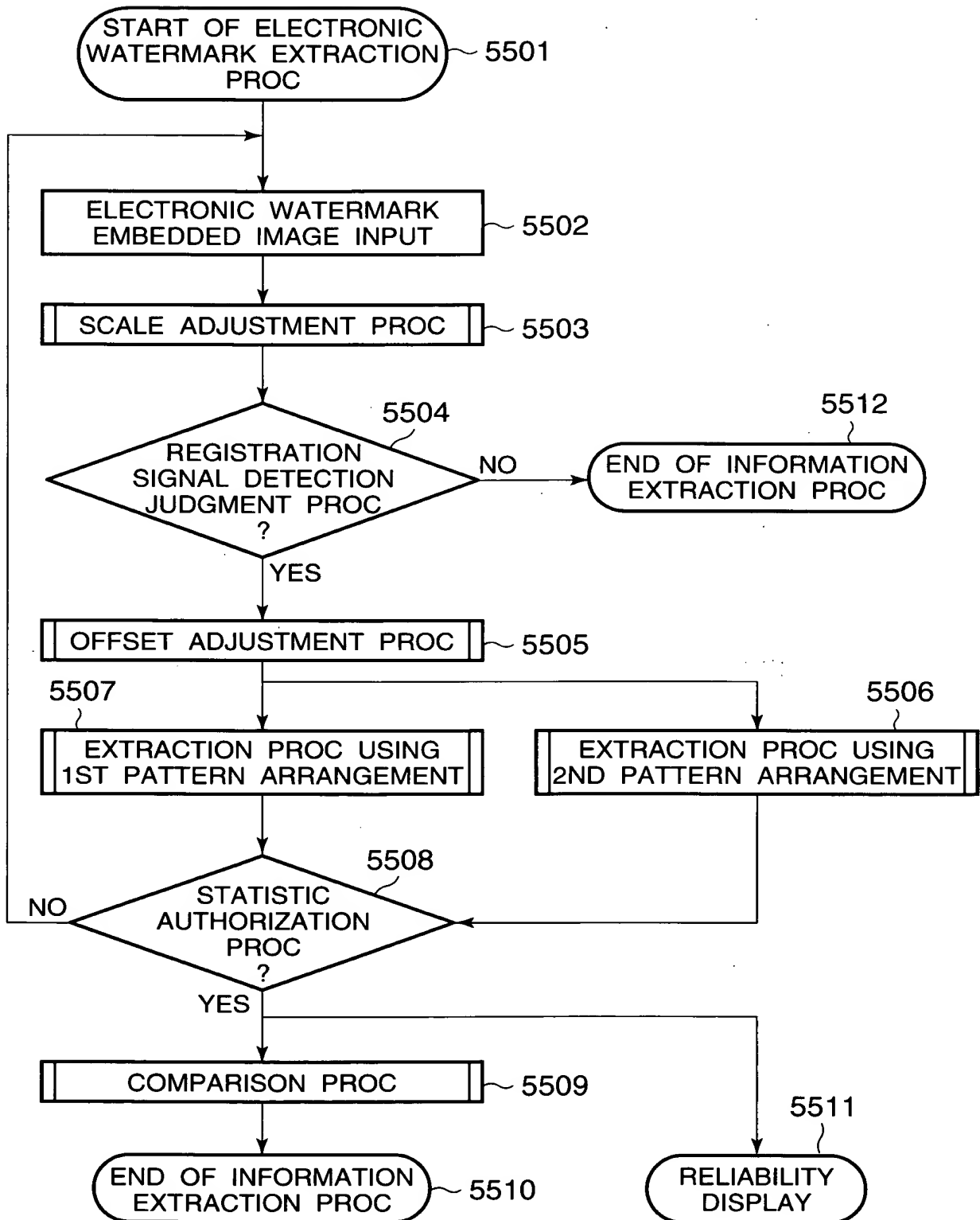


FIG.56

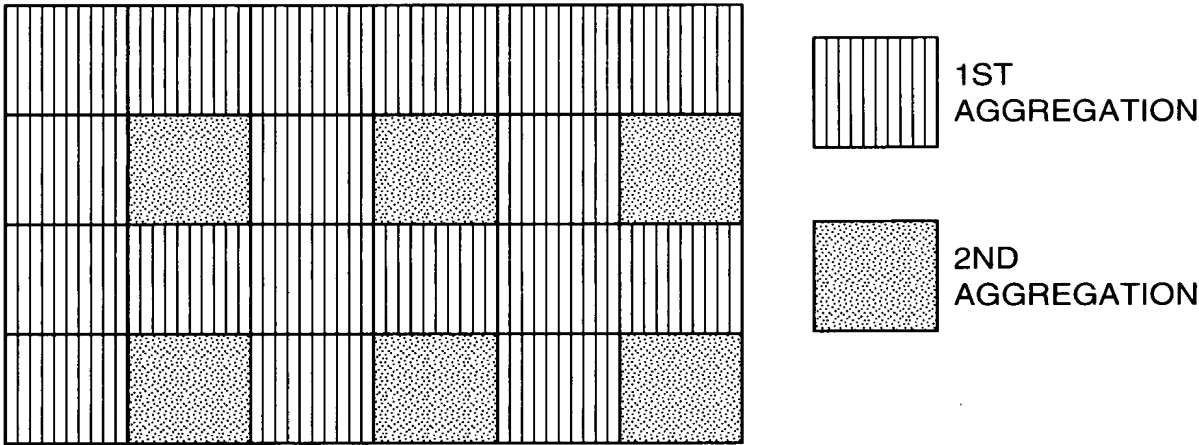




FIG.57

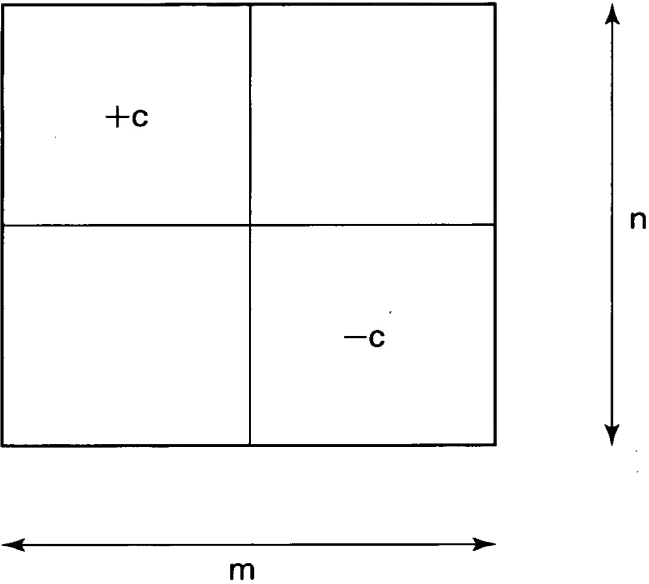
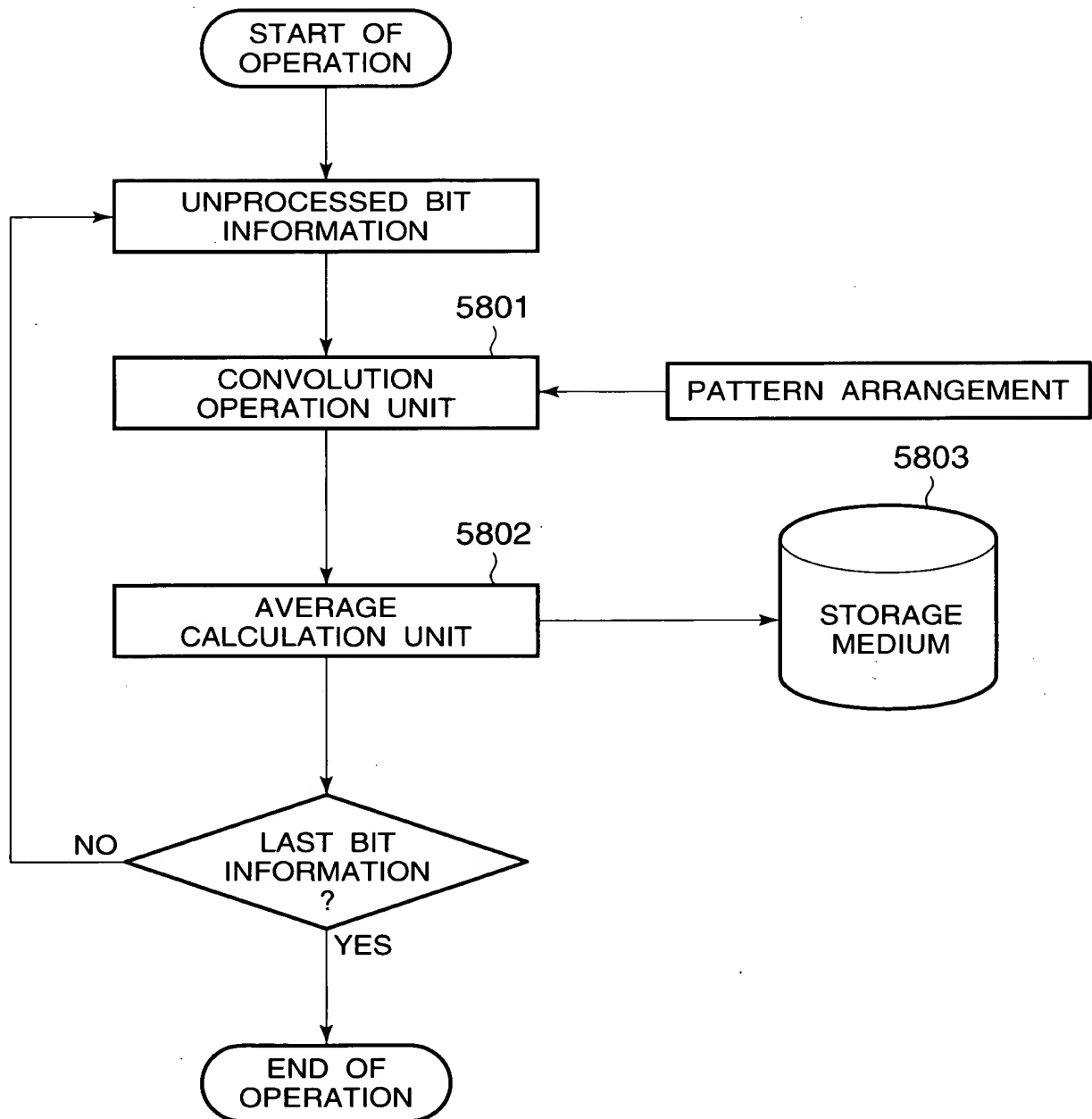


FIG. 57

FIG.58



05771983 013004

FIG.59

